

2022.06.07 @ 立教大学理論物理学研究室セミナー

原始ブラックホールのピーク理論と非ガウス尾

多田 祐一郎 名古屋大学・KEK

w/ K.T. Abe, A. Escrivà, R. Inui, N. Kitajima, S. Yokoyama, C. M. Yoo
2109.00791, 2202.01028, in prep.

2022.06.07 @ 立教大学理論物理学研究室セミナー

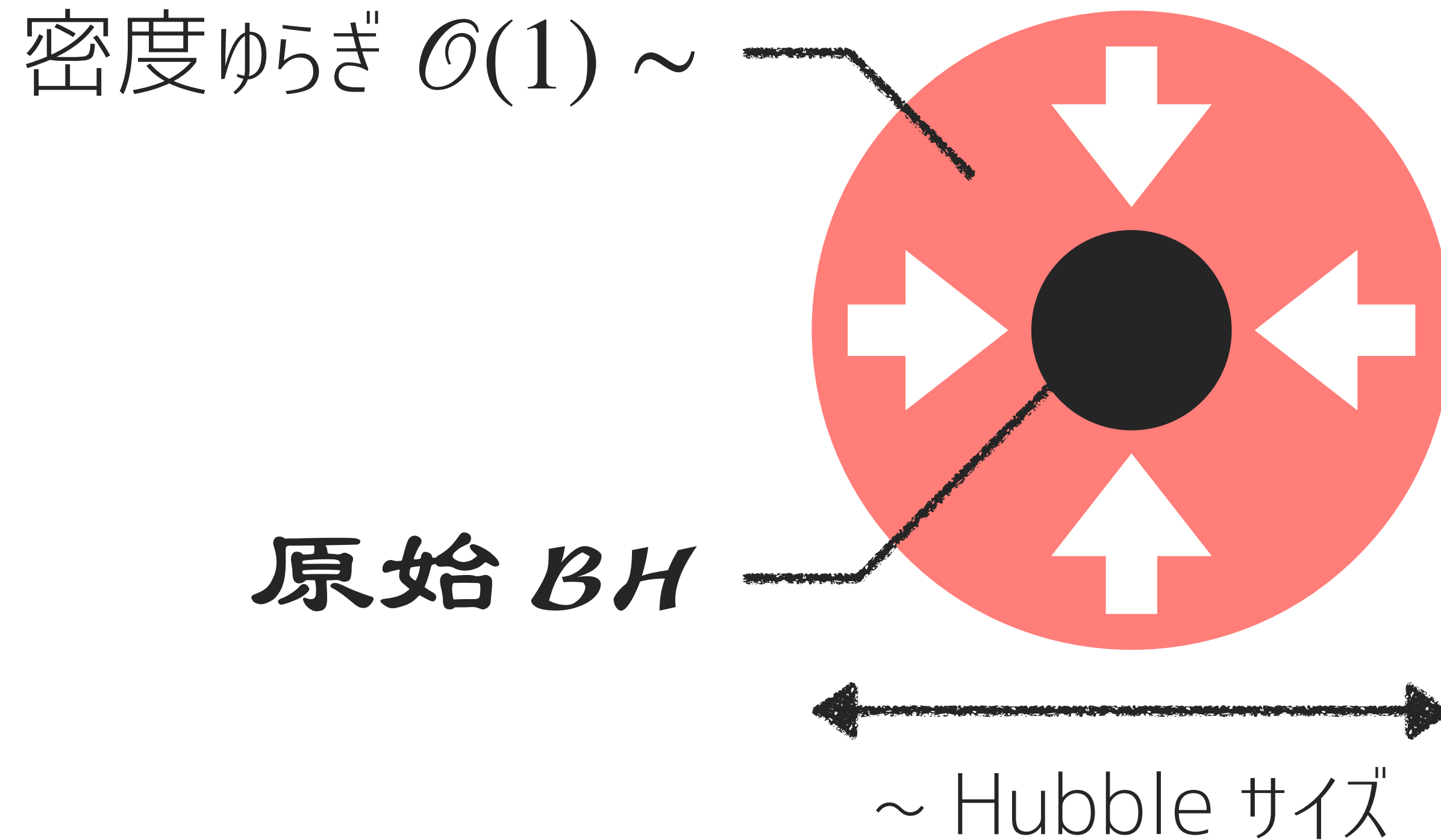
原始ブラックホールのピーク理論と非ガウス尾

1. 原始ブラックホール
2. 曲率ゆらぎの非ガウス尾
3. ピーク理論
4. 誘導背景重力波

原始 BH

Carr & Hawking '71, '74, '75

放射優勢宇宙

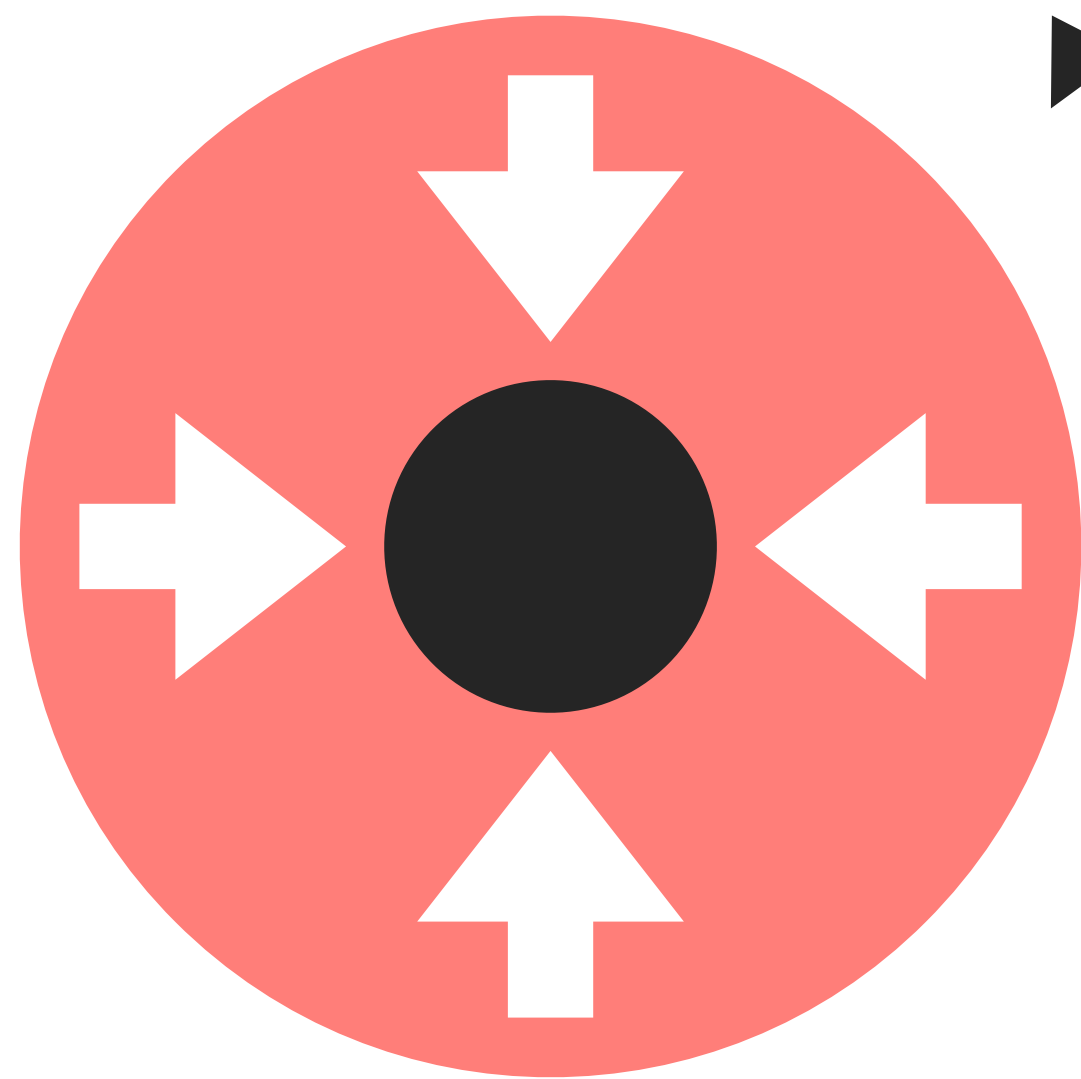


- 暗黒物質?
- LVK 合体重力波?
- 超大質量 BH の種?
- OGLE 重力レンズ天体?
- 第 9 惑星?
- r 過程の引き金?
- ⋮

存在量？

Escrivà, Kitajima, YT,
Yokoyama, Yoo
'21, '22

原始 BH



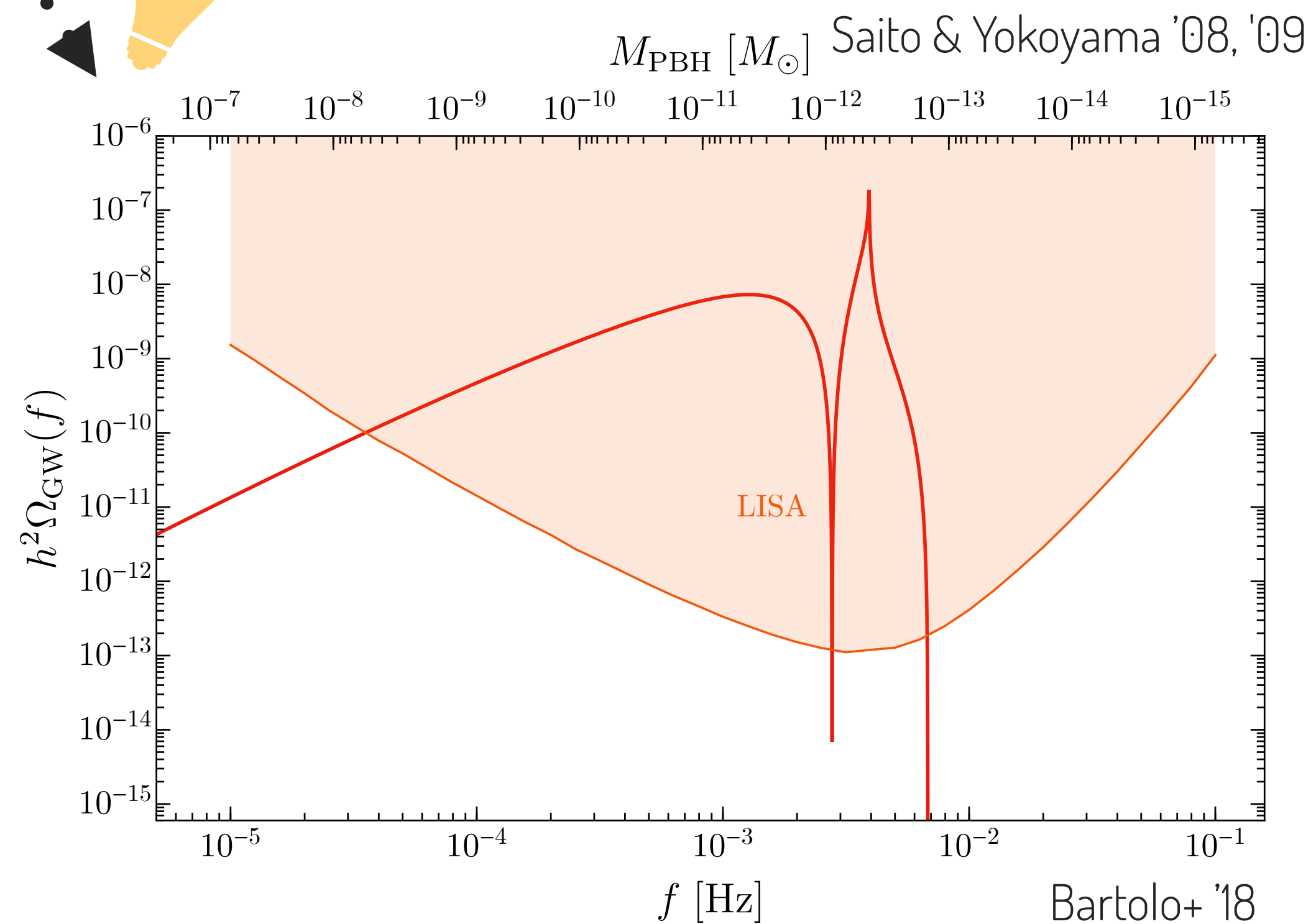
インフレーション
YT & Vennin '21

大きい初期ゆらぎ



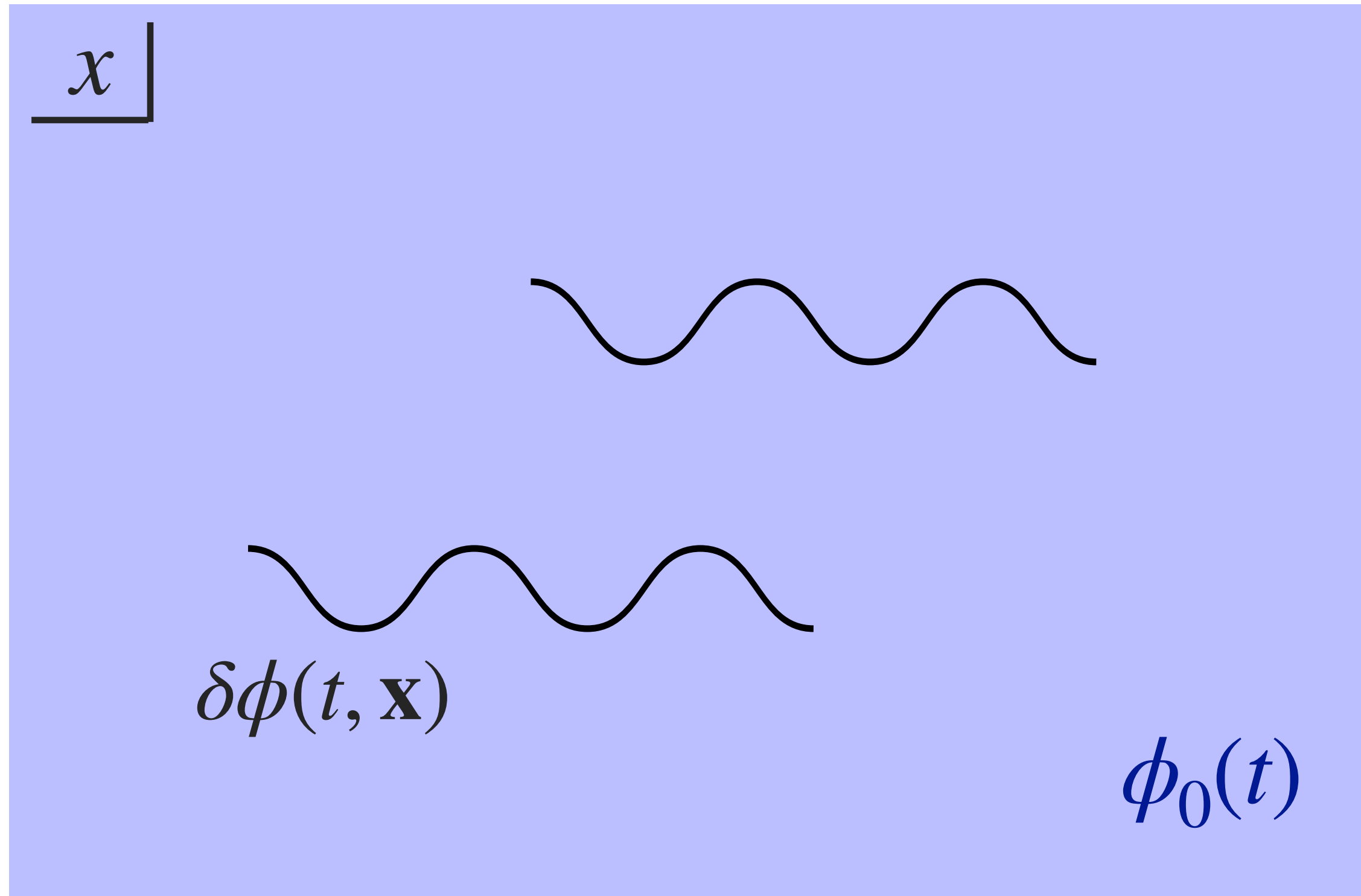
Abe, Inui, YT, Yokoyama
in prep.

2次誘導背景重力波



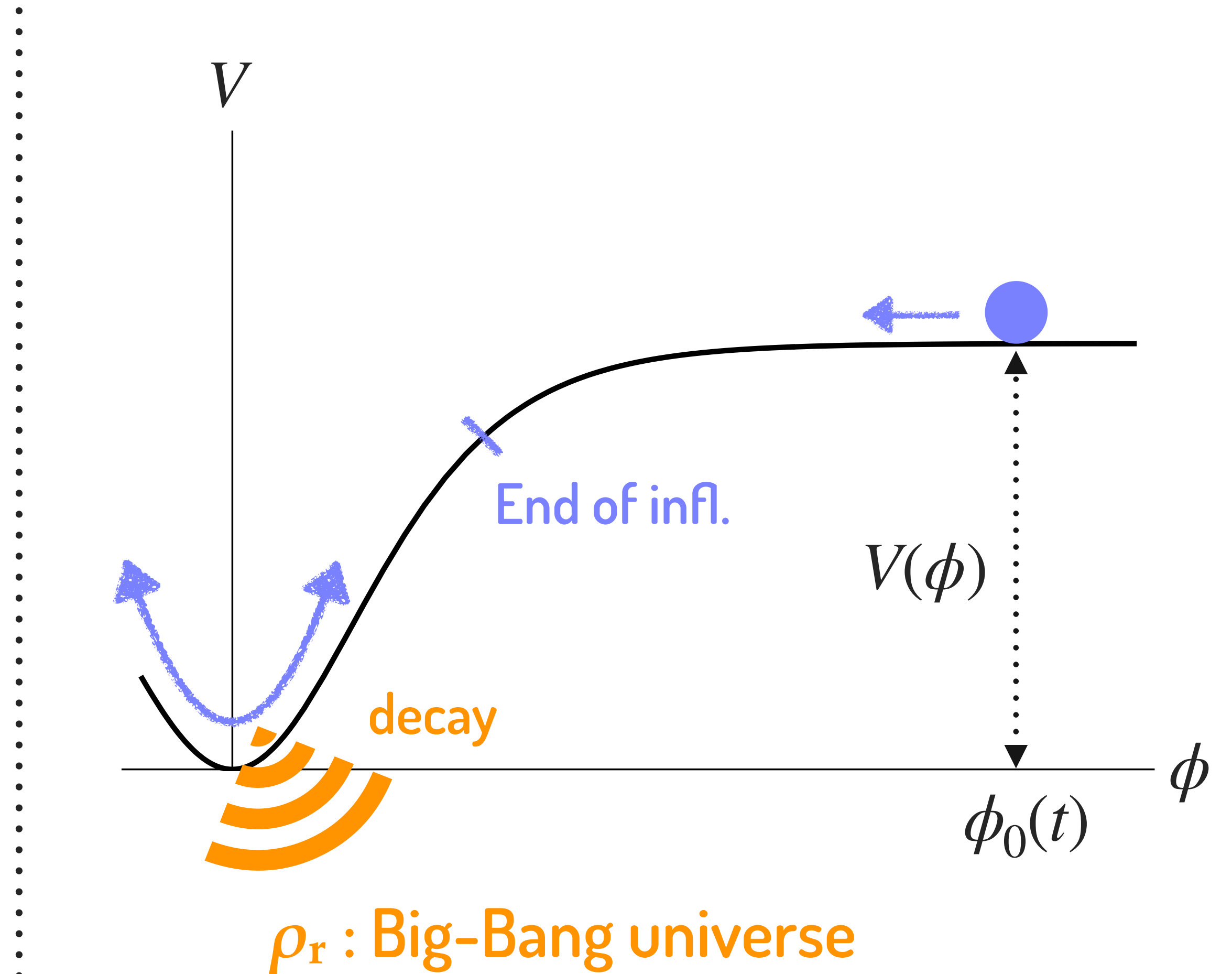
Heavy-tailed Curvature Perturbation

δN 形式

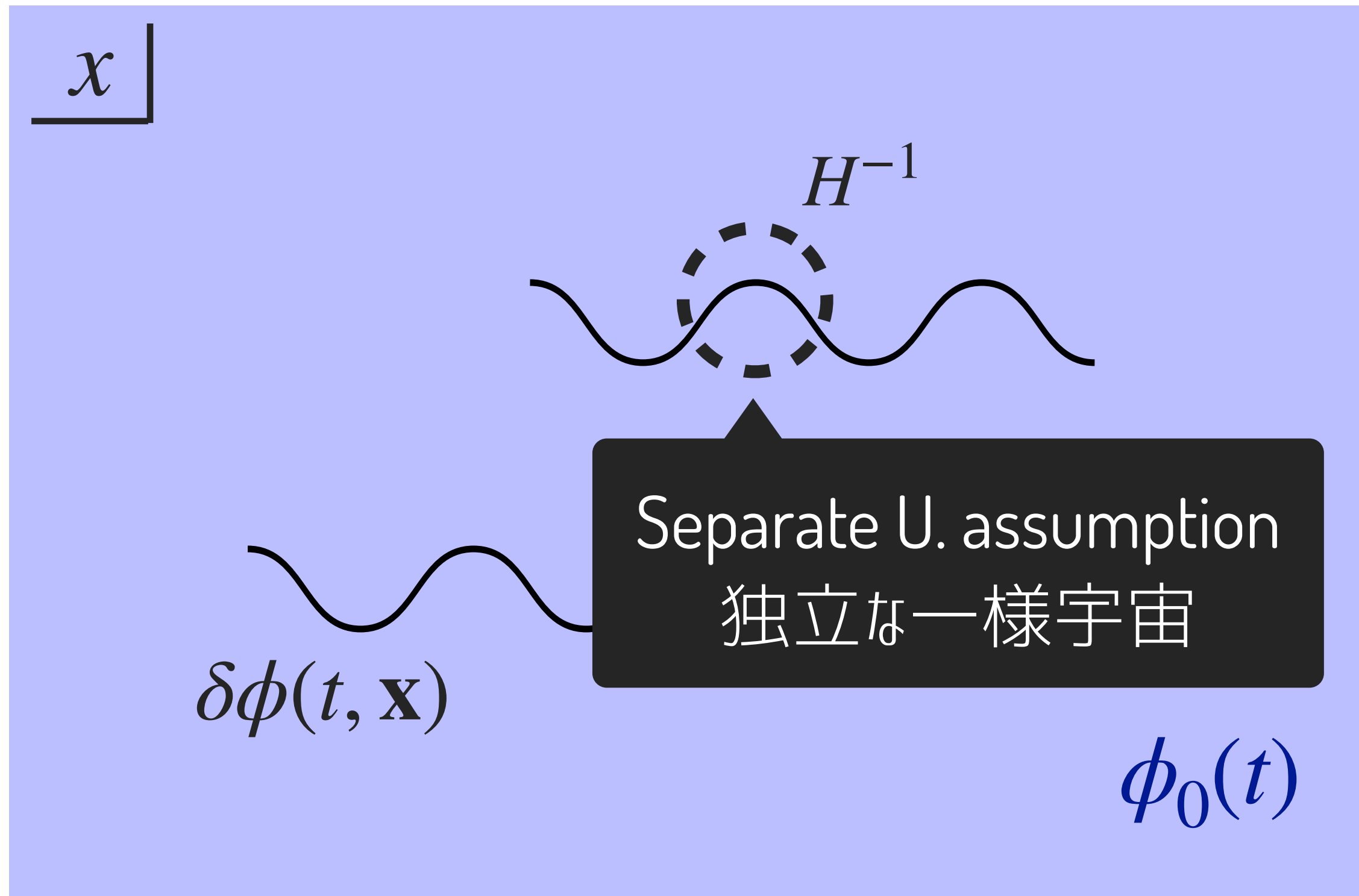


- 線形摂動理論

$$\begin{cases} \phi(\tau, \mathbf{x}) = \phi_0(\tau) + \delta\phi(\tau, \mathbf{x}) \\ g_{\mu\nu}(\tau, \mathbf{x}) = a^2(\tau)\eta_{\mu\nu} + h_{\mu\nu}(\tau, \mathbf{x}) \end{cases}$$



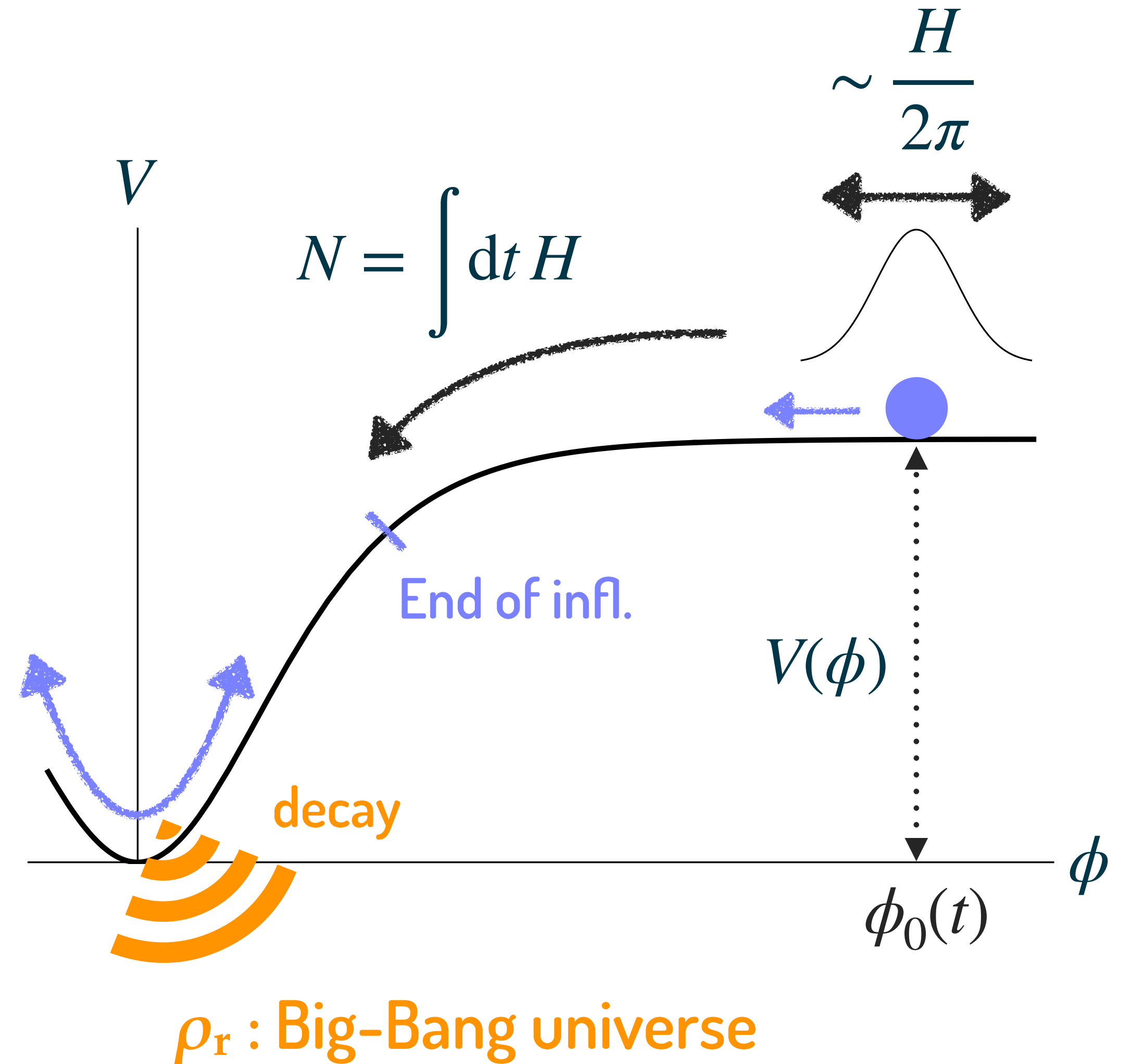
δN 形式



- δN 形式 (非摂動) Lyth, Malik, Sasaki '04

$$\zeta = \delta N = N(\phi_0 + \delta\phi) - N(\phi_0)$$

$$= -H \frac{\delta\rho}{\dot{\rho}_0} \quad (\text{flat slice})$$



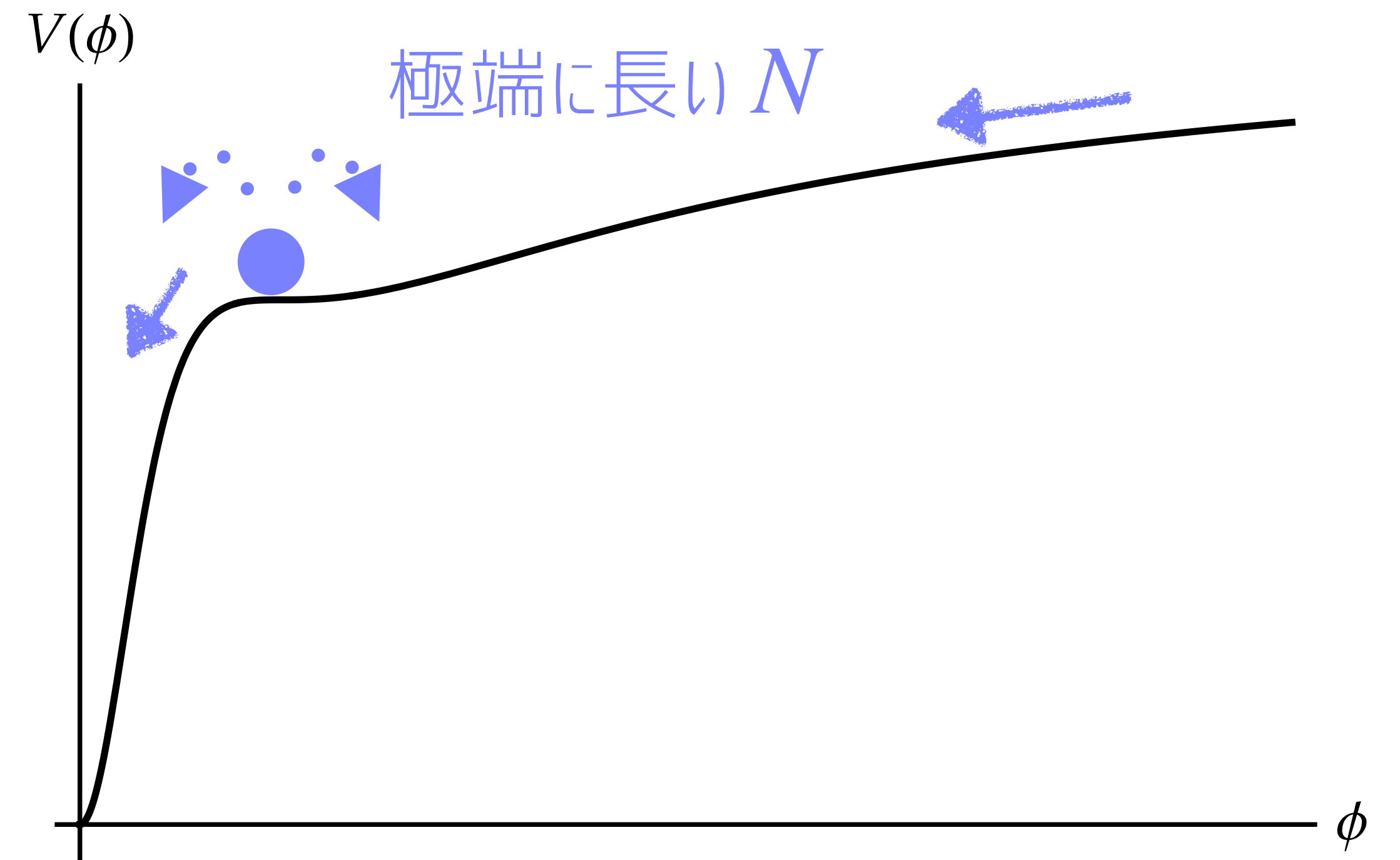
ガウシアン？

- for small $\zeta \ll 1$

$\zeta \simeq N_\phi \delta\phi$: Gaussian ✓

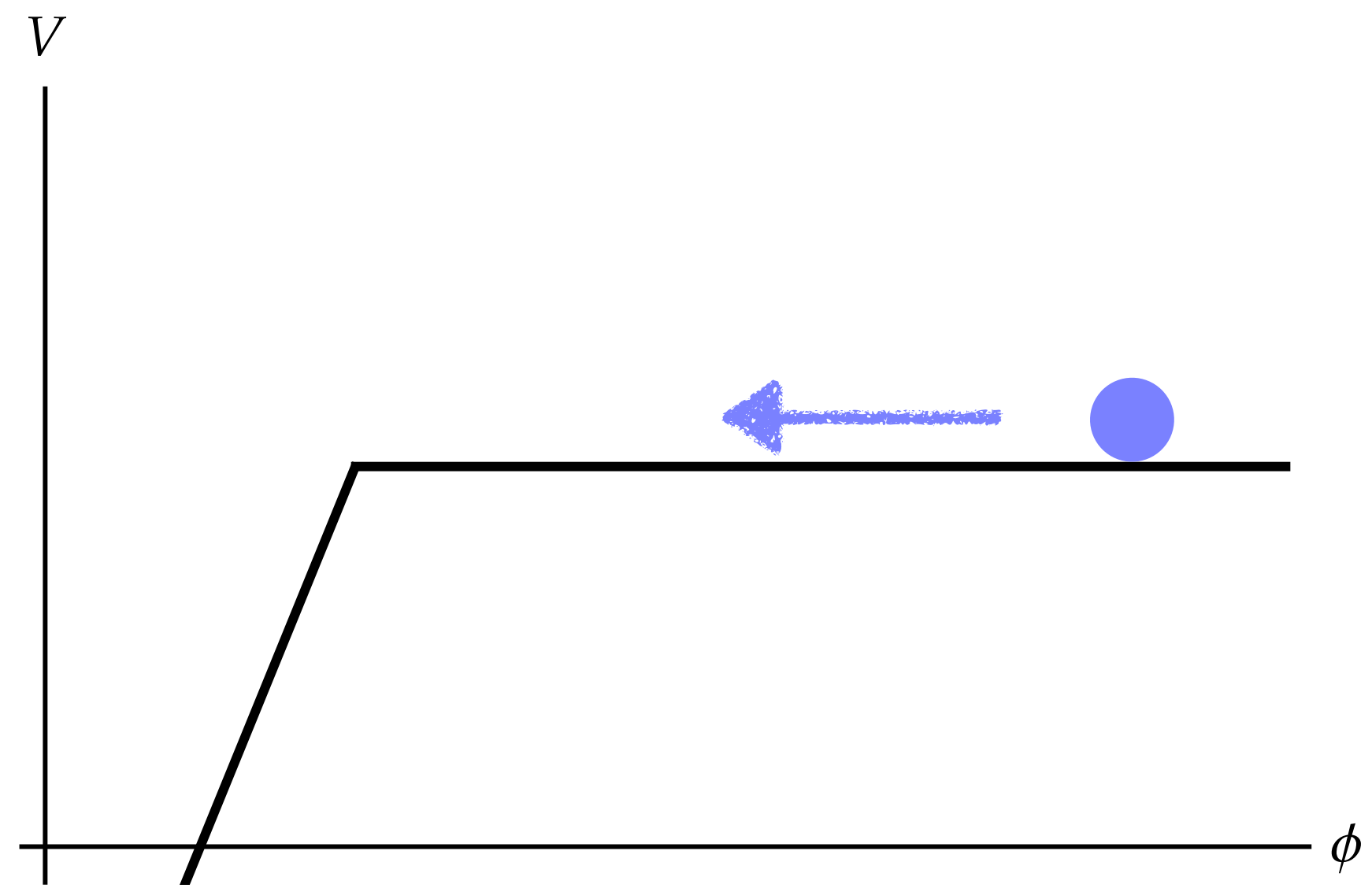
- for large $\zeta \sim 1$

$\zeta = \zeta_{\text{NL}}(\delta\phi)$: Gaussian ?



Exp.-tail

- Exact Ultra SR



$$\ddot{\phi} + 3H\dot{\phi} = 0 \Rightarrow \dot{\phi} = \dot{\phi}_0 e^{-3Ht}$$

$$\zeta = \delta N = -\frac{1}{3} \ln \left(1 - 3H \frac{\delta\phi}{|\dot{\phi}_f|} \right)$$

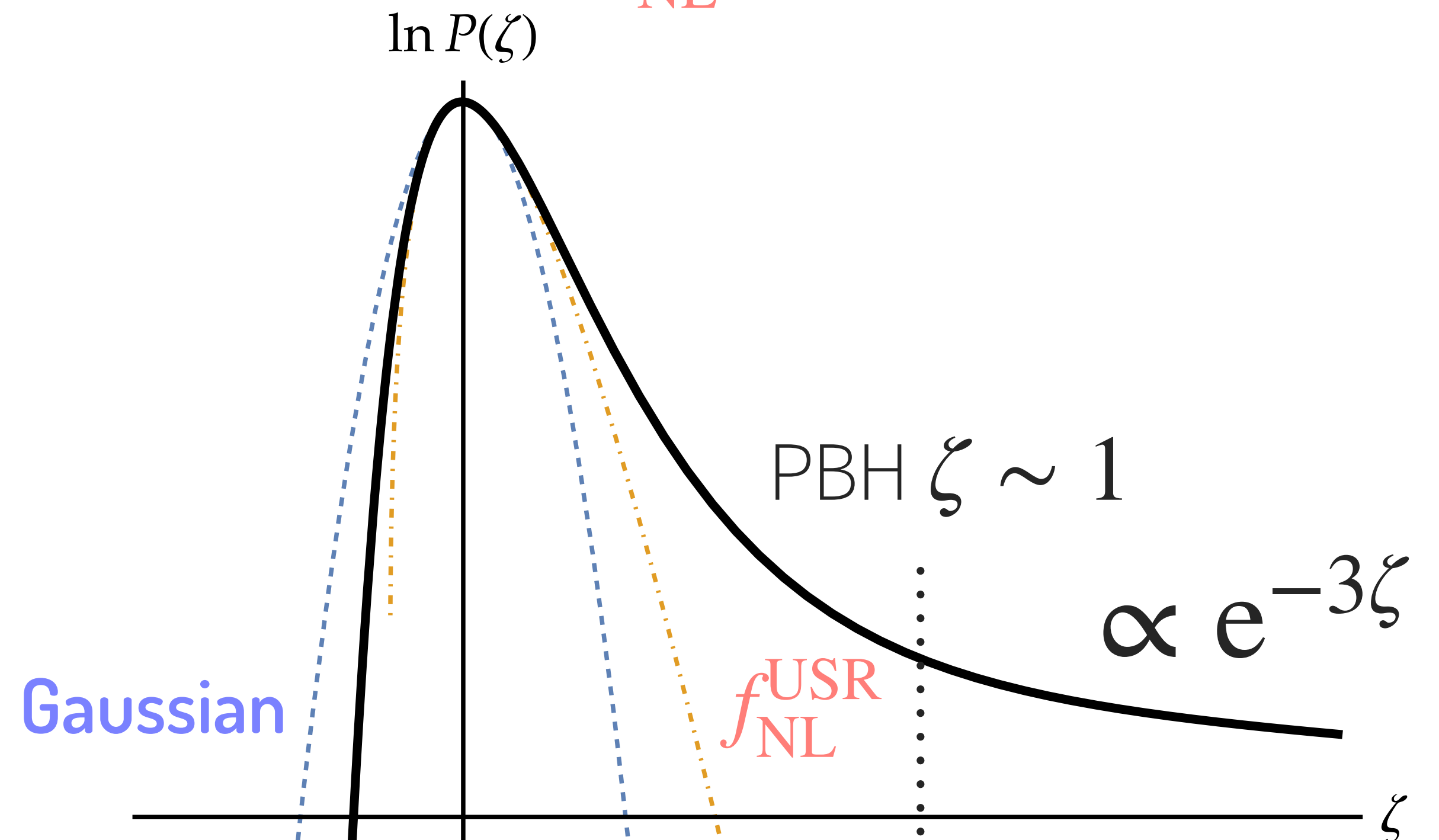
Cai+ '18

$$\zeta = -\frac{1}{3} \ln (1 - 3\zeta_G) \Leftrightarrow \zeta_G = \frac{1}{3} (1 - e^{-3\zeta})$$

$$= \zeta_G + \frac{3}{5} \times \frac{5}{2} \zeta_G^2 + \dots$$

f_{NL}^{USR}

Atal+ '19
Ezquiaga+ '19
Biagetti+ '21

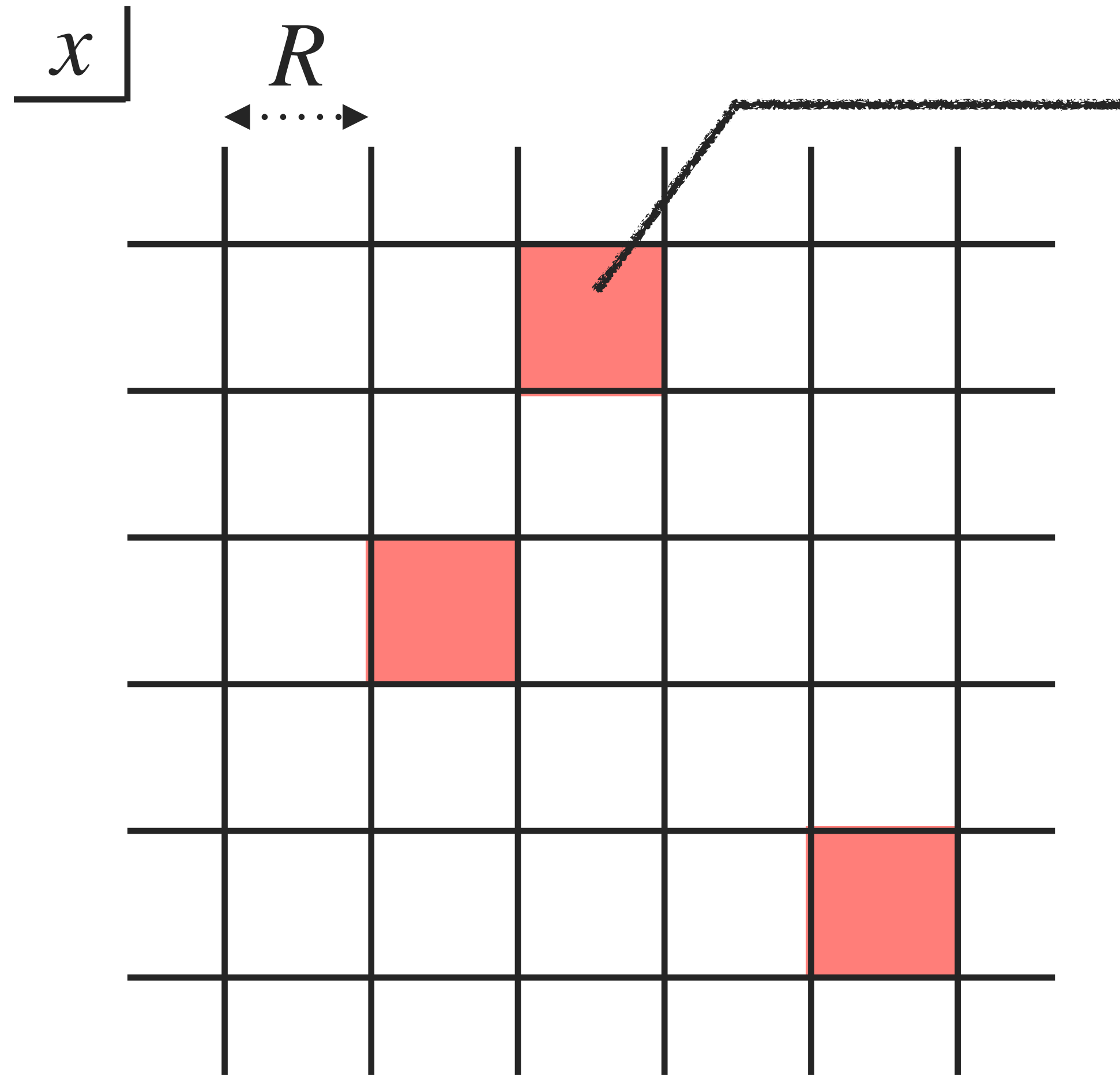


Peak theory for PBH

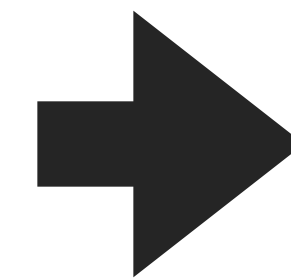
質量関数

最も単純なアプローチ

Carr '75 (Press & Schechter '74)



$$\delta_R(\mathbf{x}) = \int d^3y W_R(\mathbf{x} - \mathbf{y}) \delta(\mathbf{y}) \gtrsim \frac{1}{3} \left(= \frac{\rho}{\rho} \right)$$



原始 BH !!

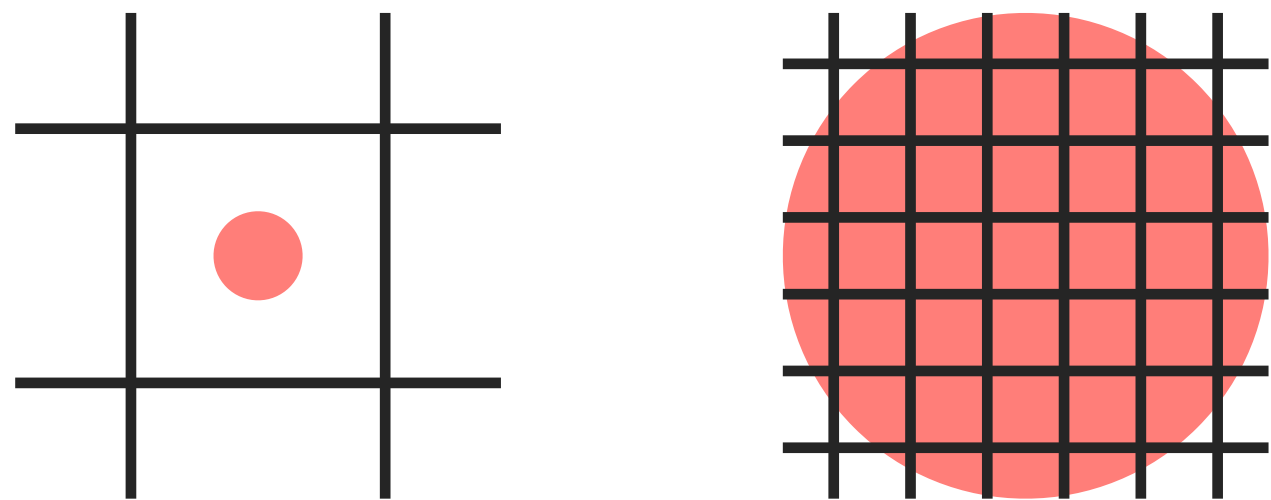
* 存在量 : $\frac{\rho_{\text{PBH}}}{\rho_{\text{tot}}} = \int_{1/3}^{\infty} \frac{1}{\sqrt{2\pi\sigma_R^2}} e^{-\delta_R^2/2\sigma_R^2}$

* 質量 : $M_{\text{PBH}} \sim M_H \Big|_{R=H^{-1}} = \frac{4\pi}{3} \rho R^3 \Big|_{R=H^{-1}}$

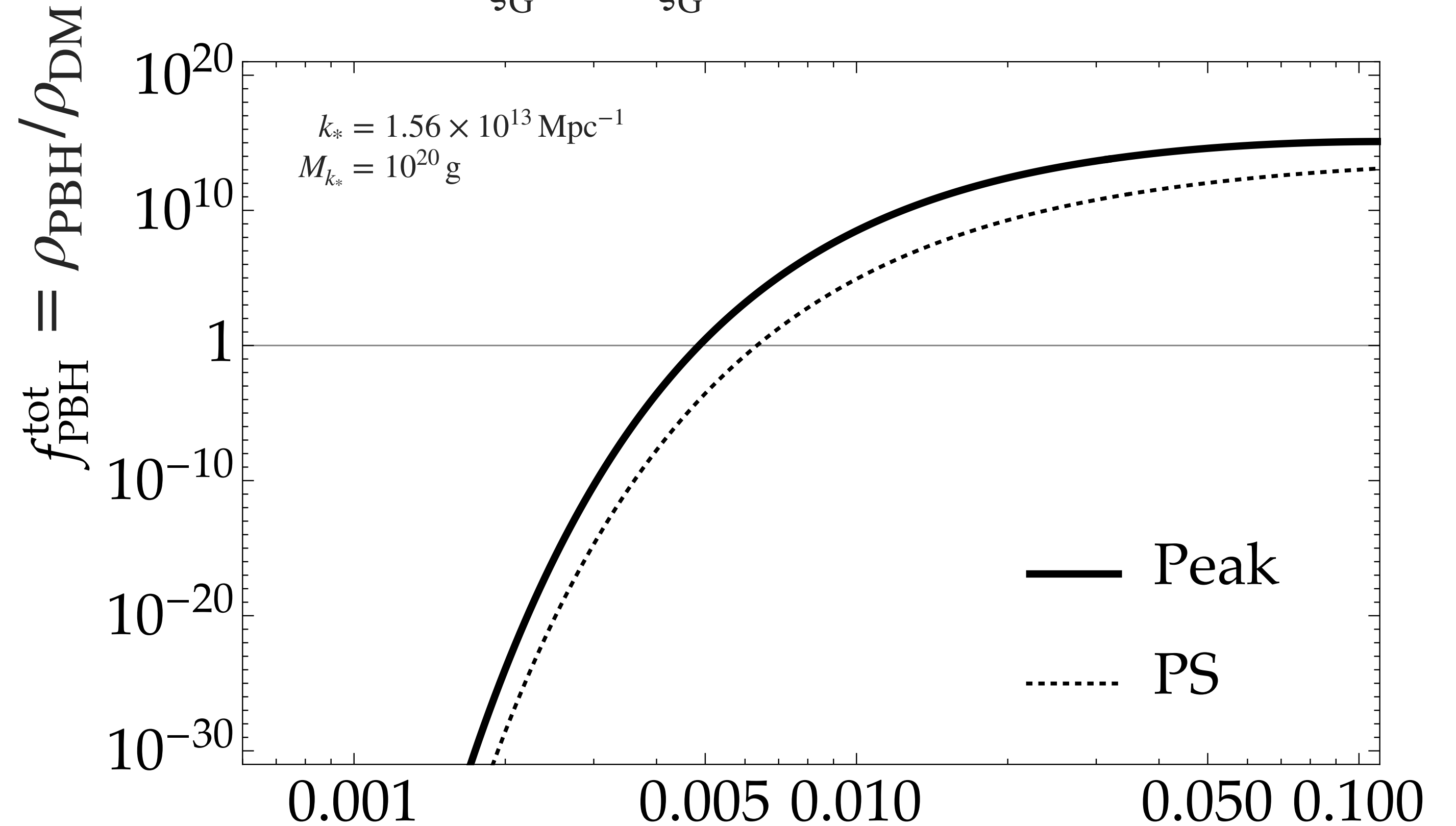
質量関数

最も単純なアプローチ
Carr '75 (Press & Schechter '74)

- いつでも "1/3"?
- 窓関数は何を使う?
- δ_R はガウス乱数?
- $M_{\text{PBH}} \sim M_H \Big|_{R=H^{-1}}$
- ピークのカウントは正しい?



$$\mathcal{P}_{\zeta_G} = A_{\zeta_G} \delta(\log k - \log k_*)$$



A_{ζ_G} Kitajima, YT, Yokoyama, Yoo '21

$$\left(\text{cf. } \Omega_{\text{GW}} \sim A_{\zeta}^2 \Omega_r \right)$$

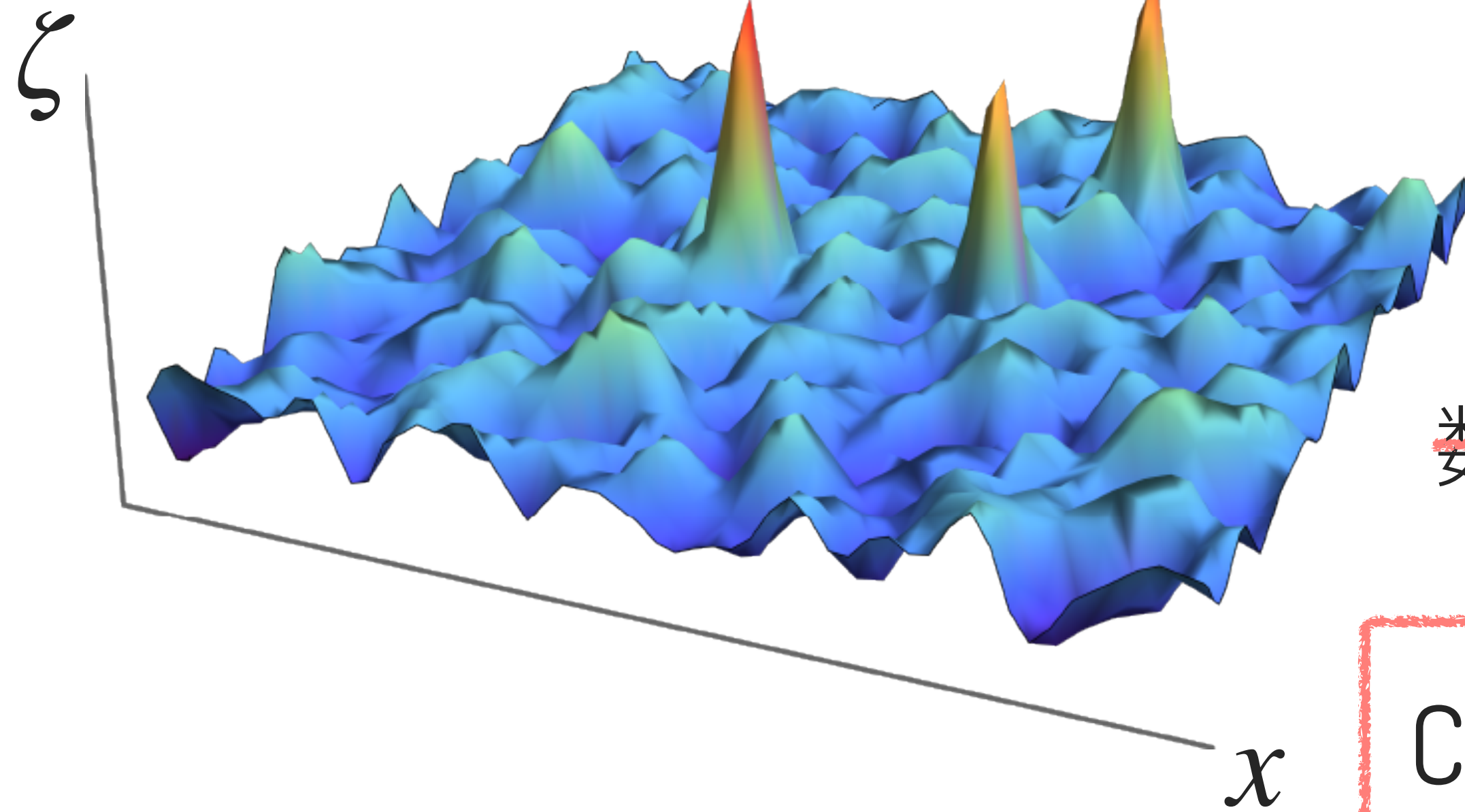
第一原理

インフレーション理論

初期ゆらぎの厳密な統計性

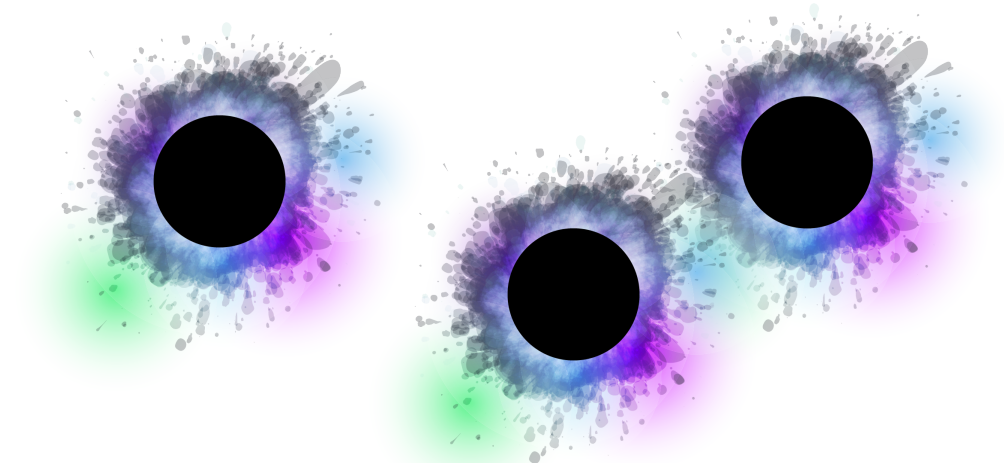
ピーク理論

~~シミュレート~~



~~数値 GR~~

Compaction Func.



原始 BH

ピーク理論

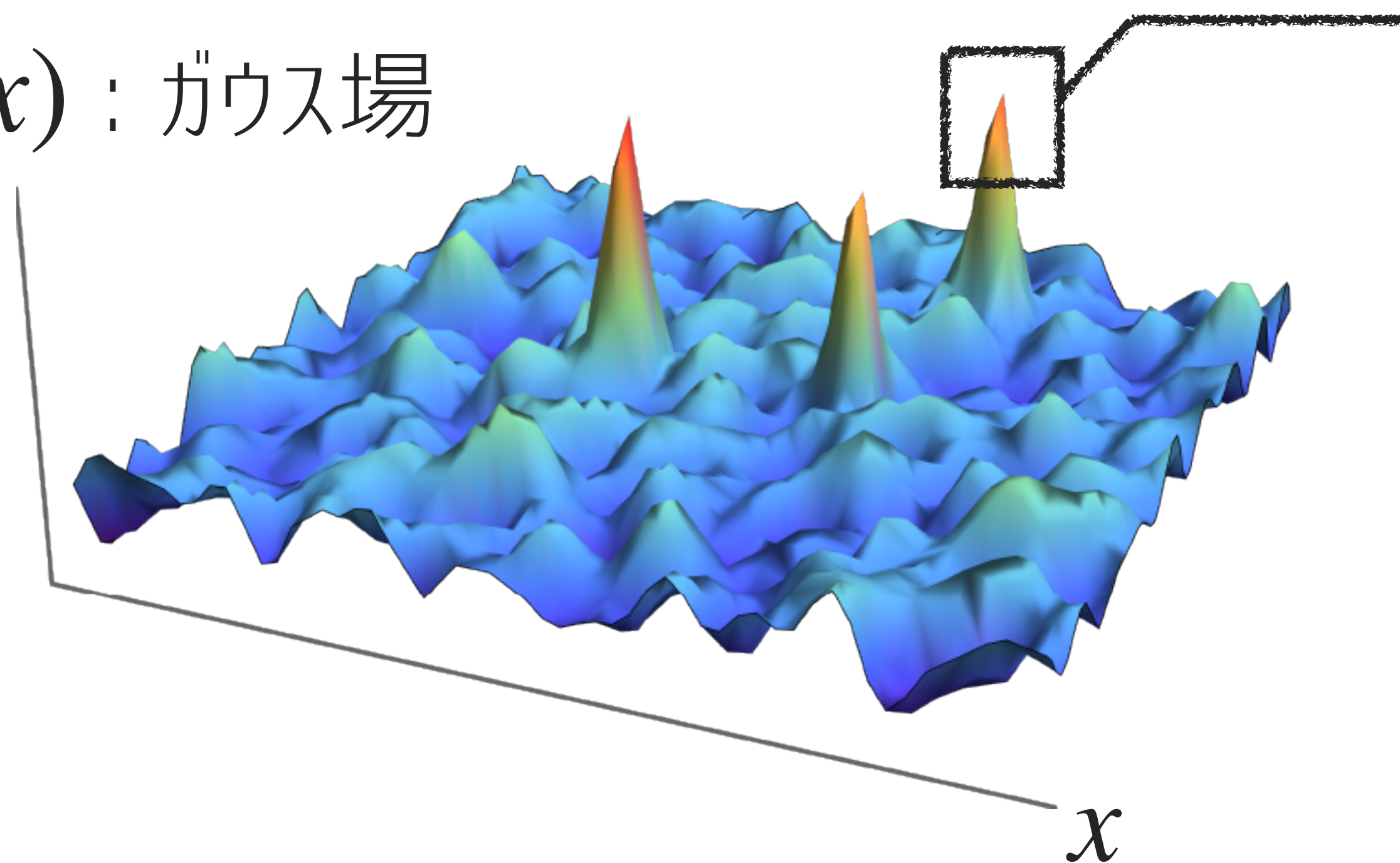
Bardeen, Bond, Kaiser, Szalay '86

Yoo, Harada, Garriga, Kohri '18

Yoo, Gong, Yokoyama '19

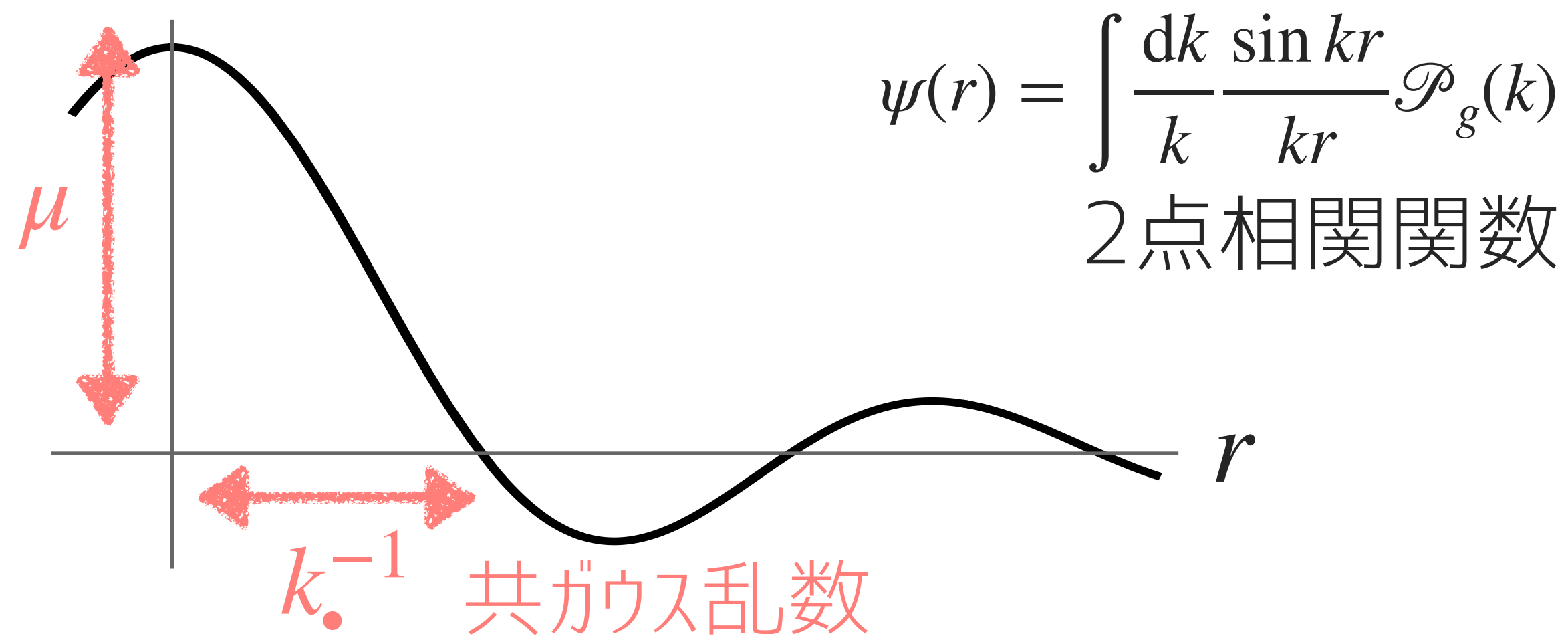
Yoo, Harada, Hirano, Kohri '20

$g(x)$: ガウス場



- * 典型的な球対称ピーク形

$$\hat{g}(r) = \hat{g}(\psi(r); \mu, k_*)$$



- * 実空間数密度

$$n_{pk}(\mu, k_*) d\mu dk_*$$

Compaction Func.

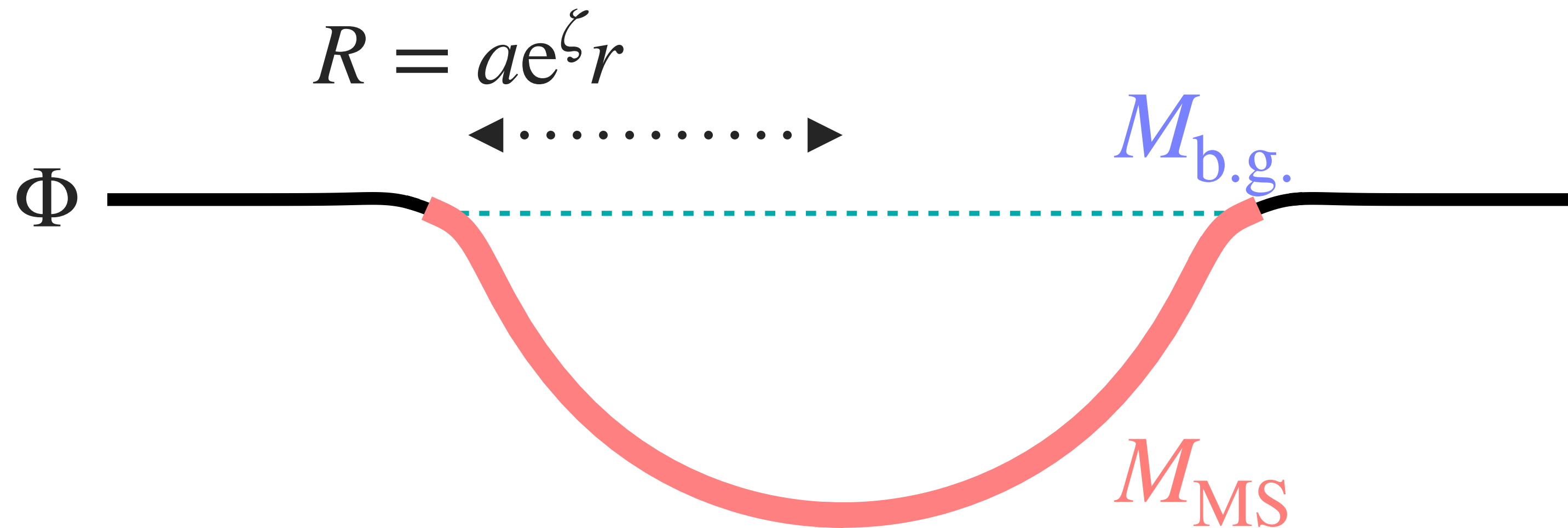
Shibata & Sasaki '99
Harada, Yoo, Nakama, Koga '15

$$\delta = -\frac{8}{9} \frac{1}{a^2 H^2} e^{-5\zeta/2} \Delta e^{\zeta/2}$$

$$\mathcal{C} = G \frac{M_{\text{MS}} - M_{\text{b.g.}}}{R} = \frac{1}{V(R)} \int_0^R \delta \times 4\pi R^2 dR \Big|_{R=H^{-1}} = \frac{2}{3} [1 - (1 + r\zeta')^2] \stackrel{?}{>} \mathcal{C}_{\text{th}}$$

密度ゆらぎの平均

超 Hubble 保存



Compaction Func.

Shibata & Sasaki '99
Harada, Yoo, Nakama, Koga '15

$$\delta = -\frac{8}{9} \frac{1}{a^2 H^2} e^{-5\zeta/2} \Delta e^{\zeta/2}$$

$$\mathcal{C} = G \frac{M_{\text{MS}} - M_{\text{b.g.}}}{R} = \frac{1}{V(R)} \int_0^R \delta \times 4\pi R^2 dR \Bigg|_{R=H^{-1}} = \frac{2}{3} [1 - (1 + r\zeta')^2] \not> \mathcal{C}_{\text{th}}$$

密度ゆらぎの平均

超 Hubble 保存

Compaction Func. の平均はほぼ普遍的指標

$$\bar{\mathcal{C}} = \frac{1}{V(R)} \int_0^R \mathcal{C} \times 4\pi R^2 > \bar{\mathcal{C}}_{\text{th}} \simeq \frac{2}{5}$$

($\rightarrow \mu > \mu_{\text{th}}(k_., \dots)$)

- $f_{\text{NL}} > 0$, exp.-tail, ...

Atal, Cid, Escrivà, Garriga '19
Escrivà, Germani, Sheth '19

- fitting for $f_{\text{NL}} < 0$

Escrivà, YT, Yokoyama, Yoo, '22

質量

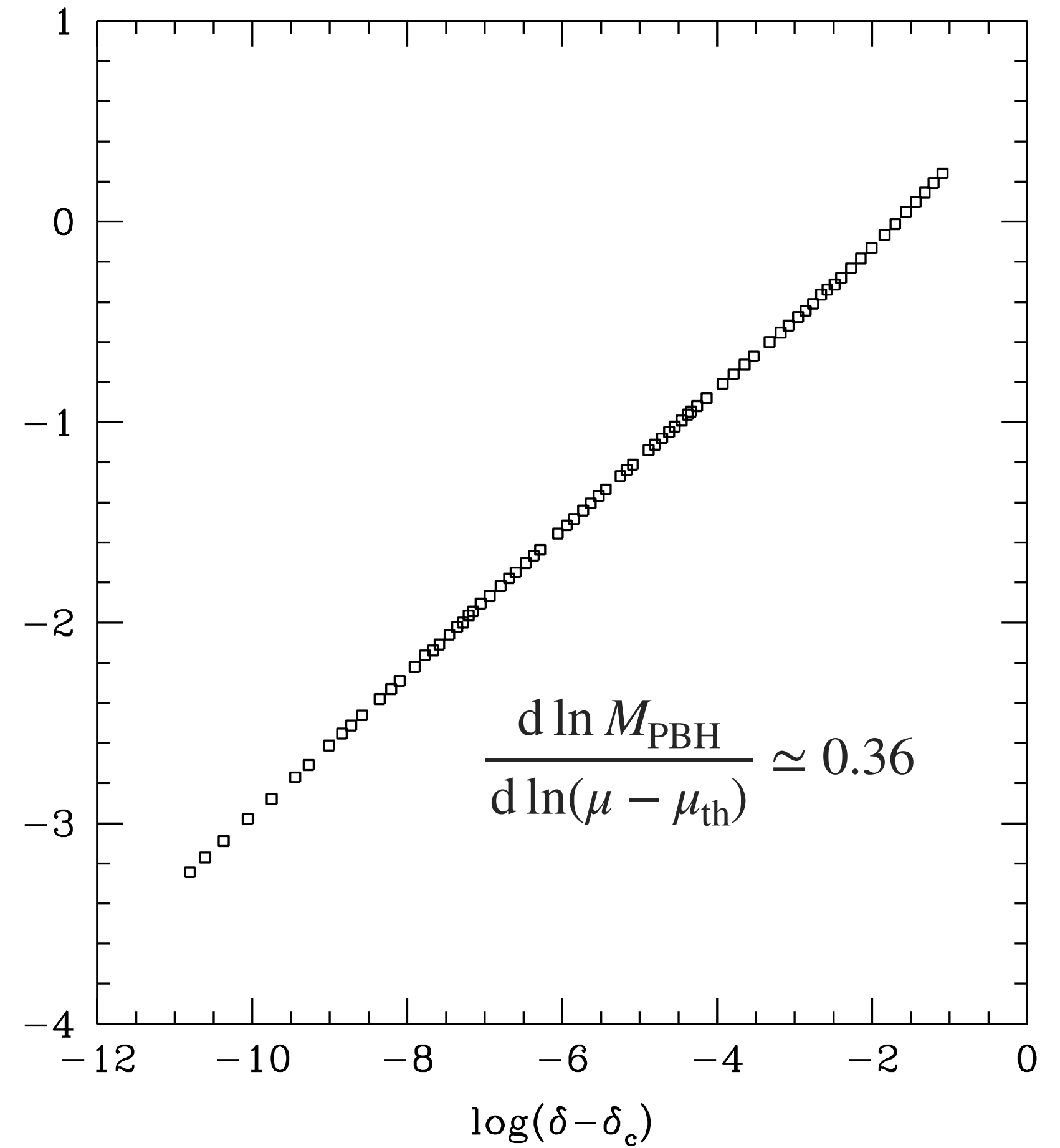
Choptuik '93

Niemeyer & Jedamzik '94, '97

* スケール則

$$M_{\text{PBH}} \simeq (\mu - \mu_{\text{th}}(k_{\bullet}, \dots))^{0.36} M_H \Big|_{R=H^{-1}}$$

$\log(M_{\text{BH}}/M_H)$

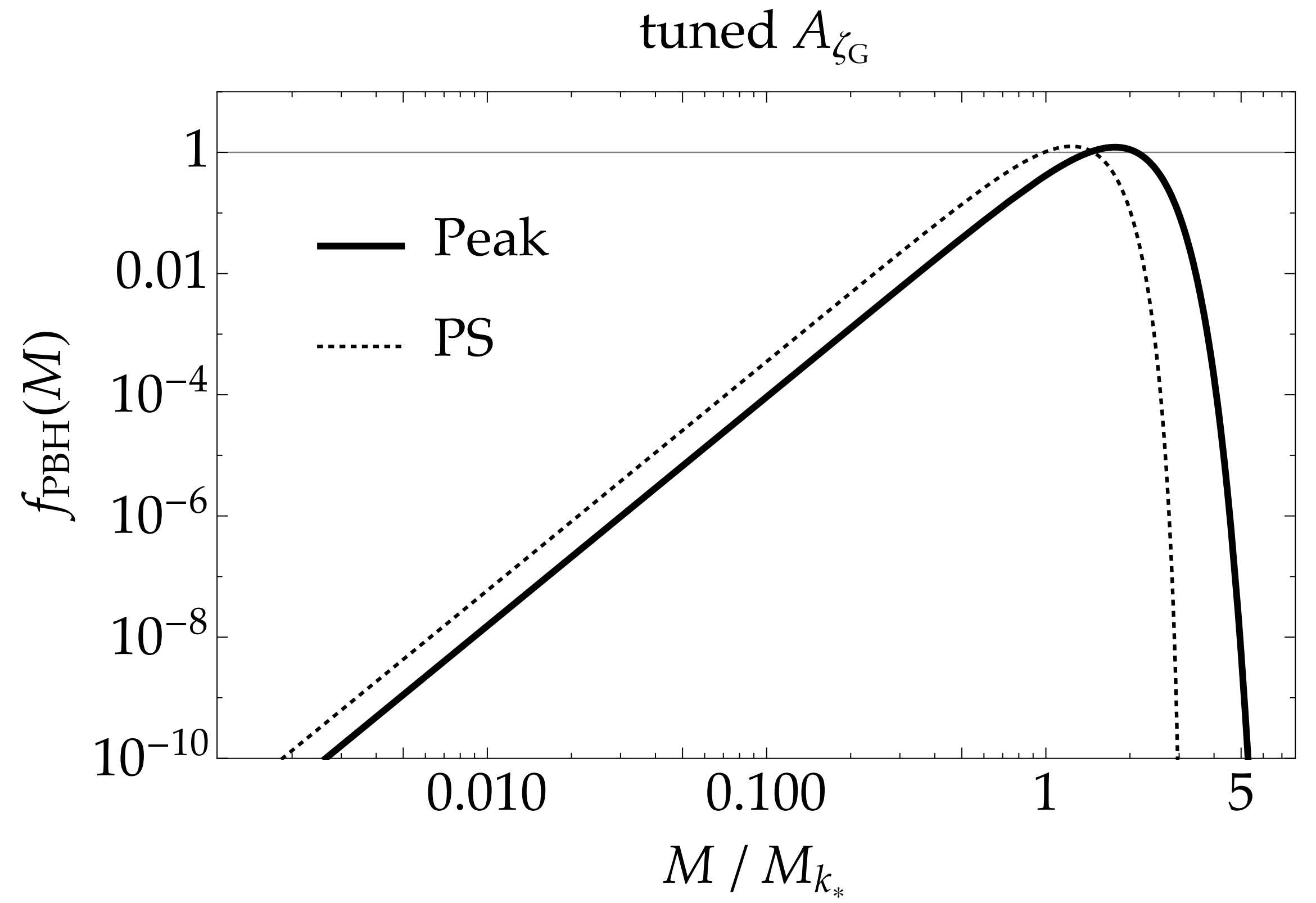
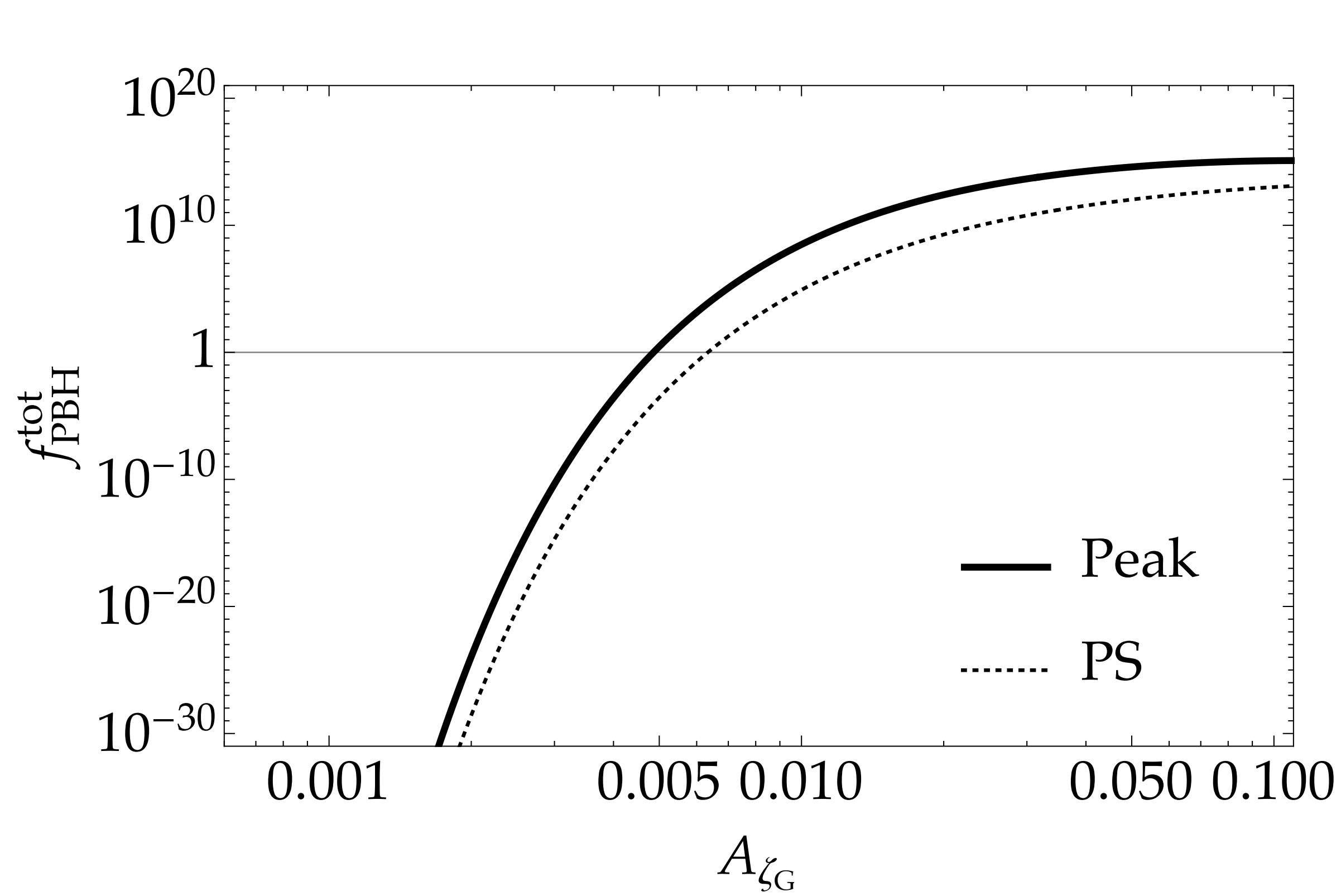


Musco, Miller, Polnarev '08

結果 (ガウシアン)

Kitajima, YT, Yokoyama, Yoo '21

$$\mathcal{P}_{\zeta_G} = A_{\zeta_G} \delta(\log k - \log k_*)$$



tuned A_{ζ_G}

$$k_* = 1.56 \times 10^{13} \text{ Mpc}^{-1}$$
$$M_{k_*} = 10^{20} \text{ g}$$

local-type NG

Yoo, Gong, Yokoyama '19

$$\zeta(\mathbf{x}) = \mathcal{F}_{\text{NG}}(\zeta_{\text{G}}(\mathbf{x}))$$

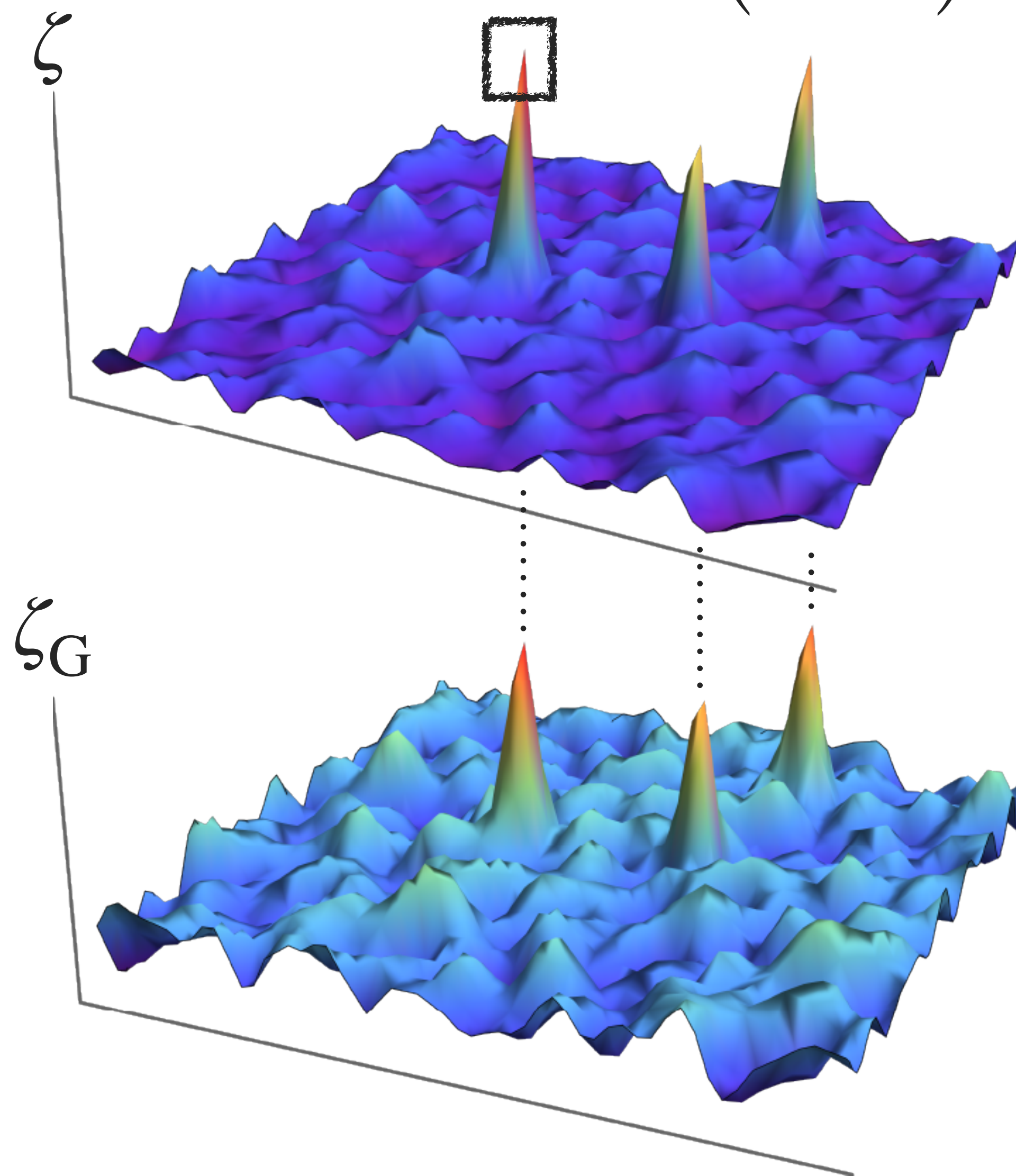
例えば...

- $\zeta = \zeta_{\text{G}} + \frac{3}{5} f_{\text{NL}} \zeta_{\text{G}}^2$
- $\zeta = -\frac{1}{3} \log(1 - 3\zeta_{\text{G}})$: "exp-tail" in USR

$$= \zeta_{\text{G}} + \frac{3}{5} \times \frac{5}{2} \zeta_{\text{G}}^2 + \dots$$

$f_{\text{NL}}^{\text{USR}}$

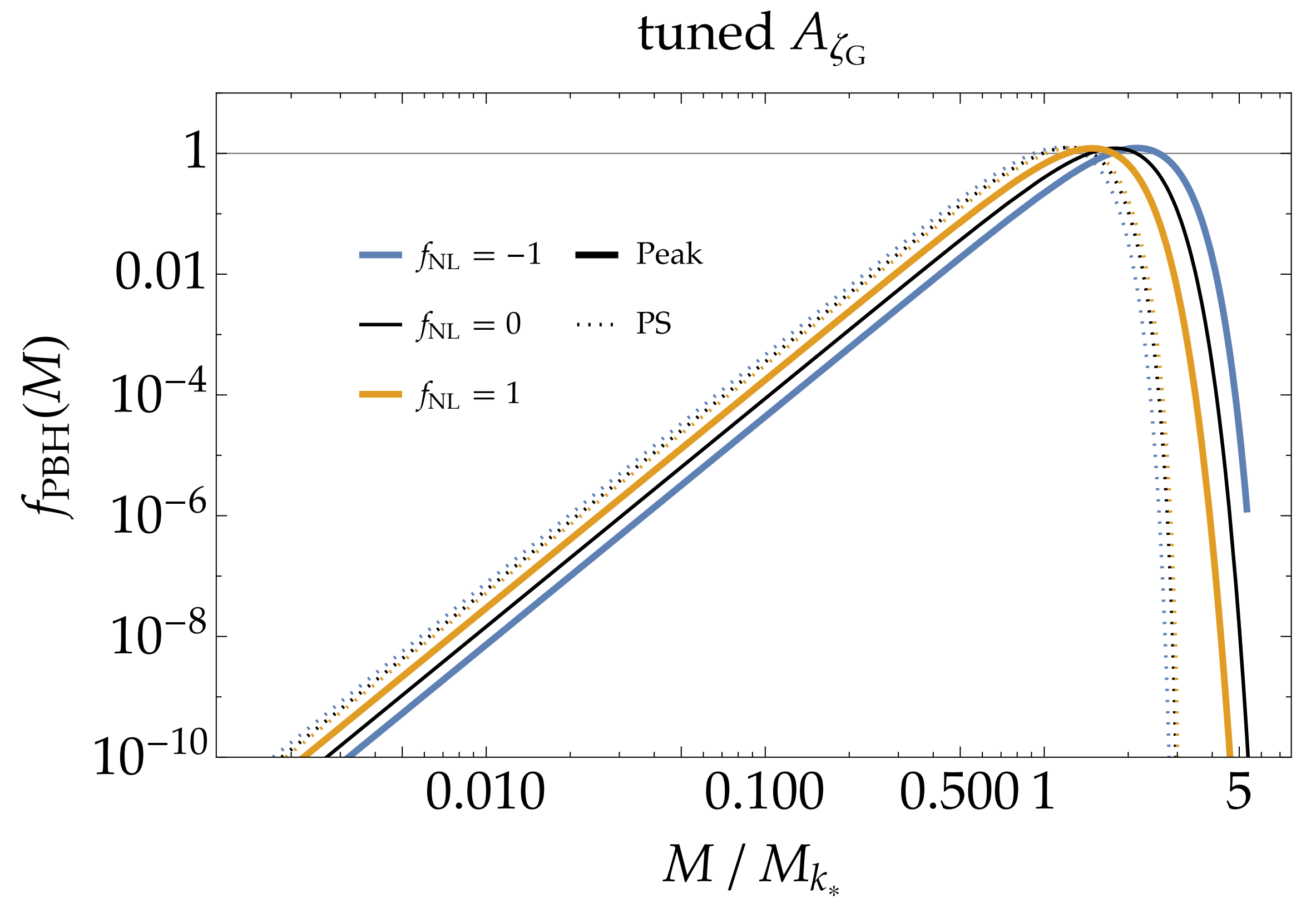
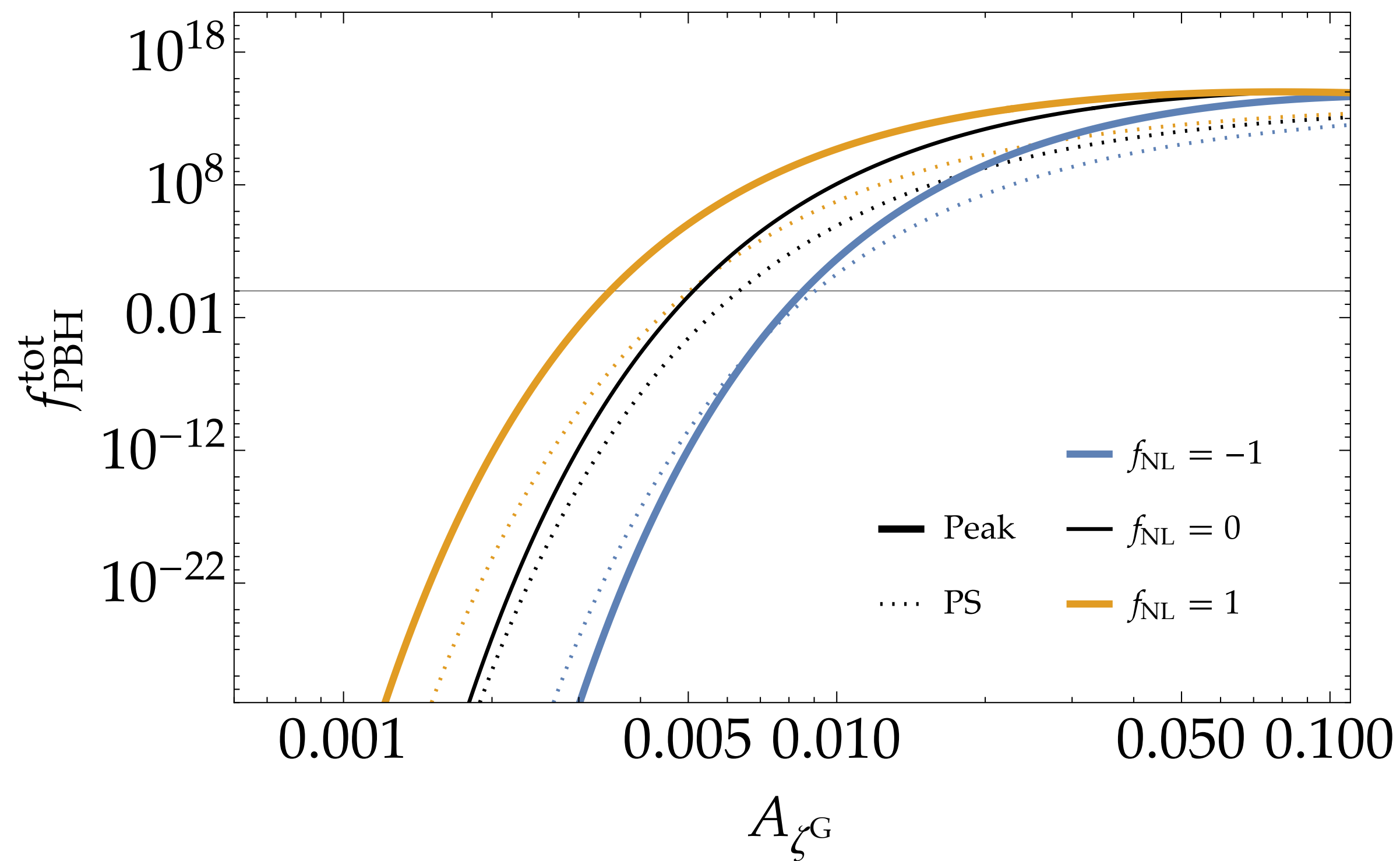
$$\hat{\zeta}(r) = \mathcal{F}_{\text{NG}}(\hat{\zeta}_{\text{G}}(r))$$



f_{NL}

Escrivà, YT, Yokoyama, Yoo '22

$$\mathcal{P}_{\zeta_{\text{G}}} = A_{\zeta_{\text{G}}} \delta(\log k - \log k_*)$$

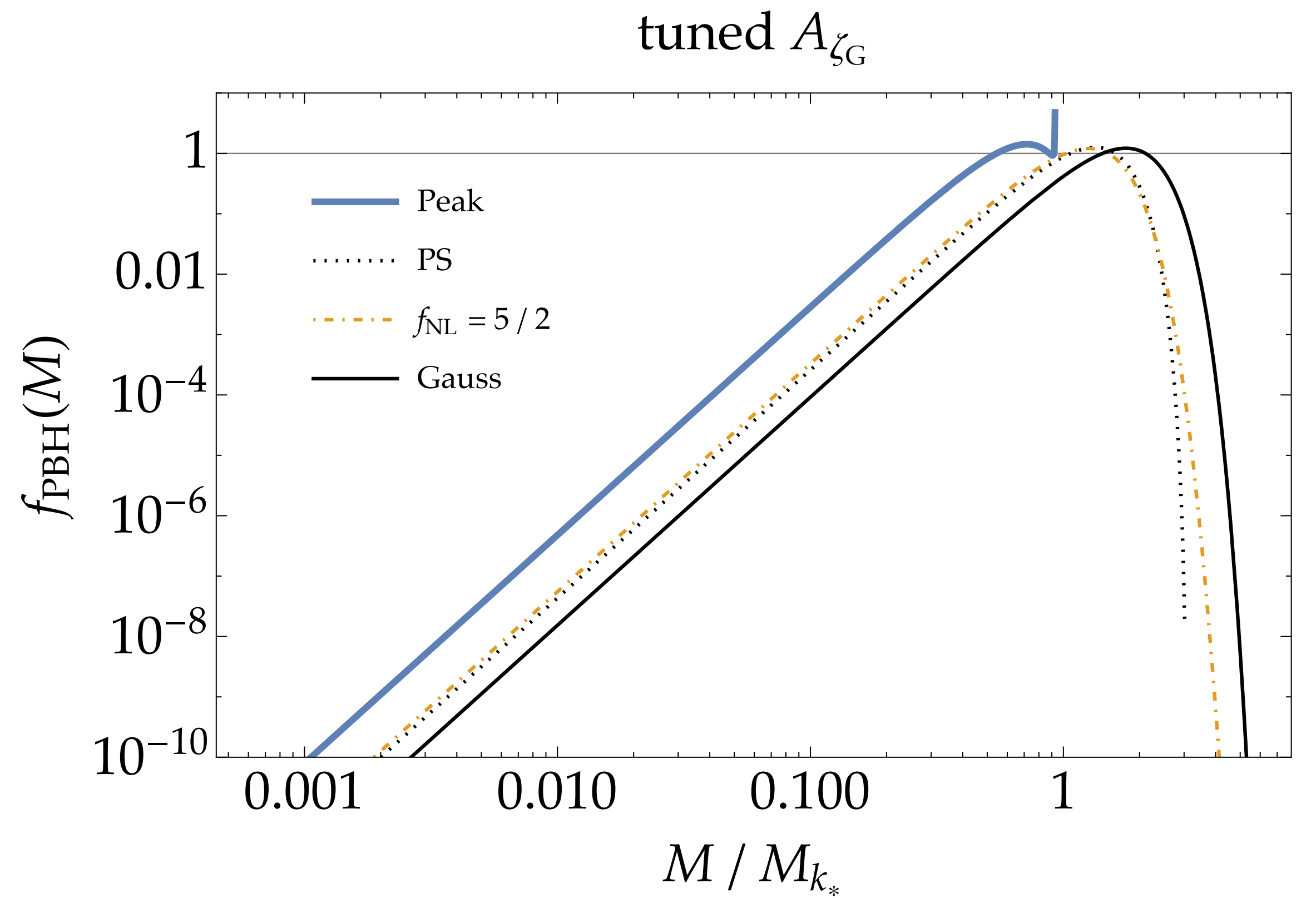
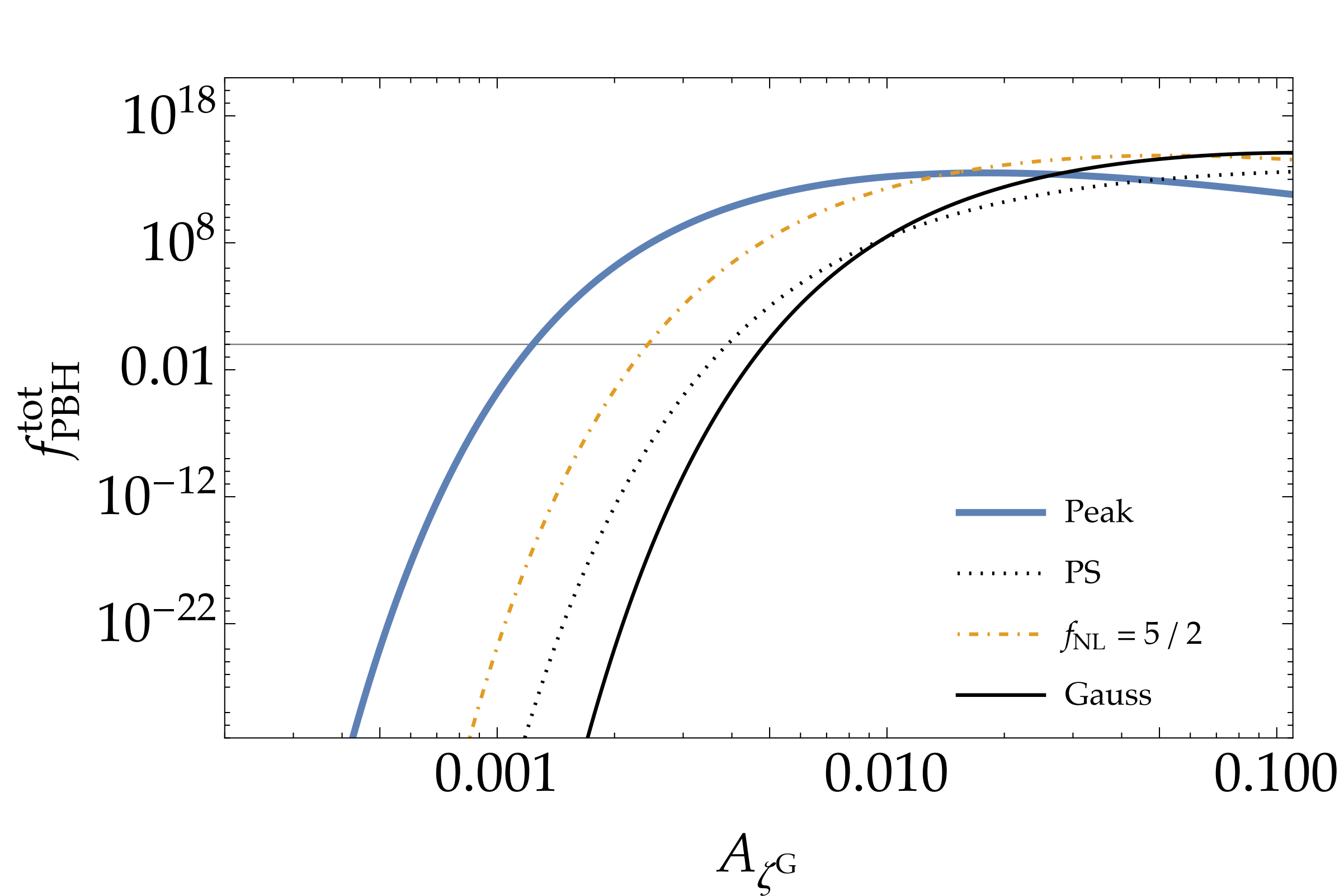


$$k_* = 1.56 \times 10^{13} \text{ Mpc}^{-1}$$
$$M_{k_*} = 10^{20} \text{ g}$$

exp.-tail

Kitajima, YT, Yokoyama, Yoo '21

$$\zeta = -\frac{1}{3} \log(1 - 3\zeta_G)$$



$$k_* = 1.56 \times 10^{13} \text{ Mpc}^{-1}$$
$$M_{k_*} = 10^{20} \text{ g}$$

Induced GWs

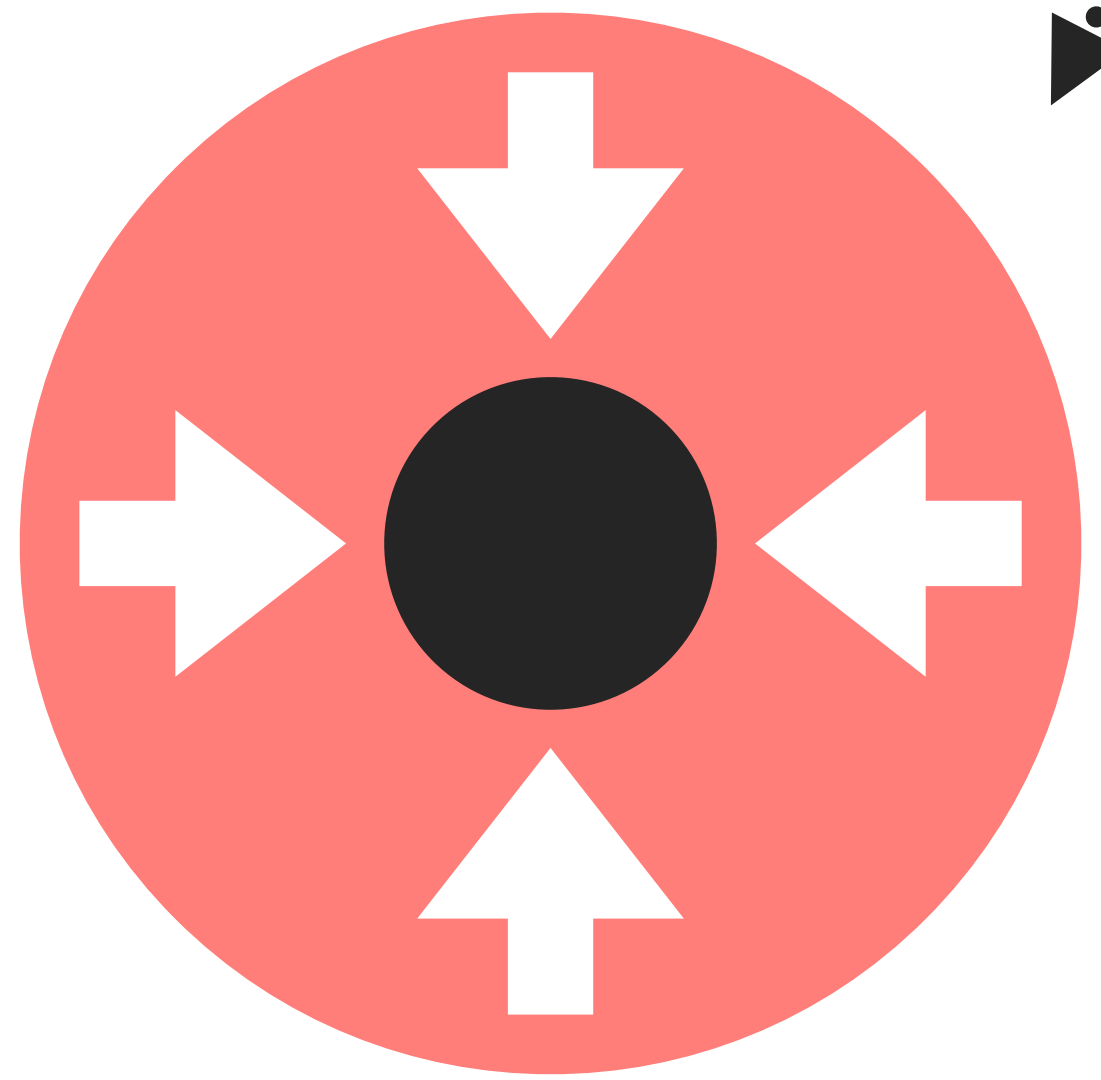
誘導重力波

Escrivà, Kitajima, YT,
Yokoyama, Yoo
'21, '22

インフレーション
YT & Vennin '21

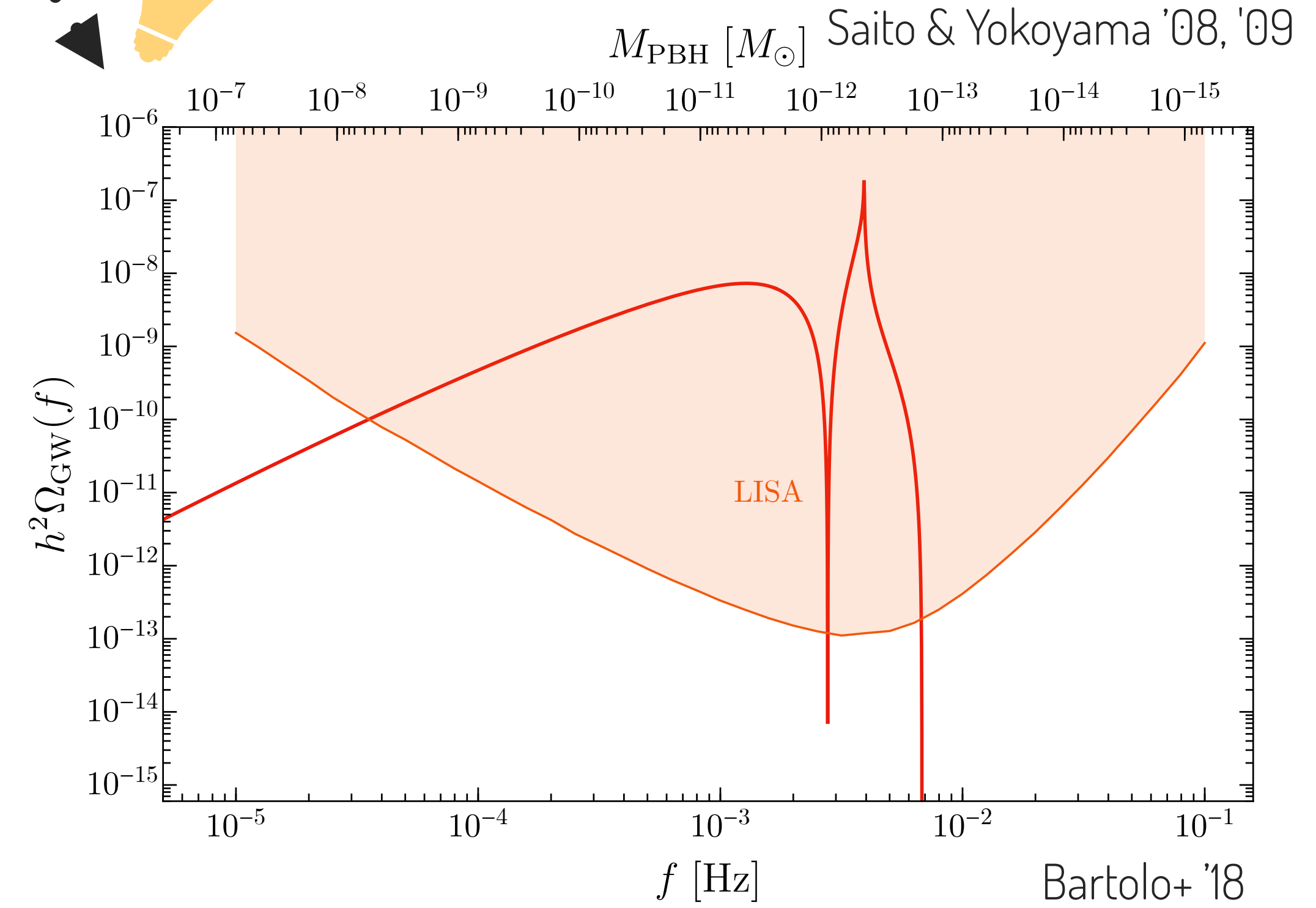
大きい初期ゆらぎ

原始 BH



Abe, Inui, YT, Yokoyama
in prep.

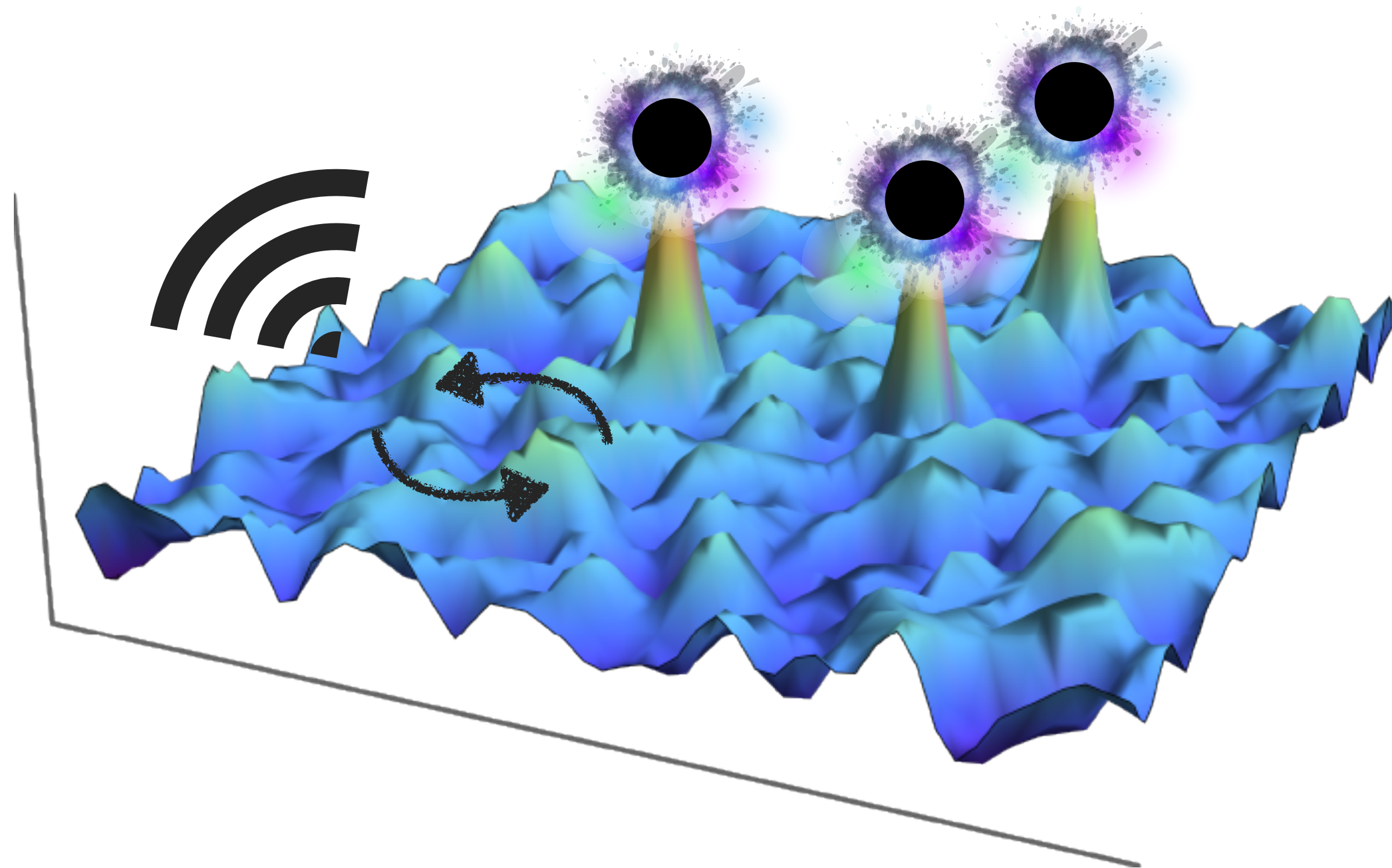
2次誘導背景重力波



誘導重力波

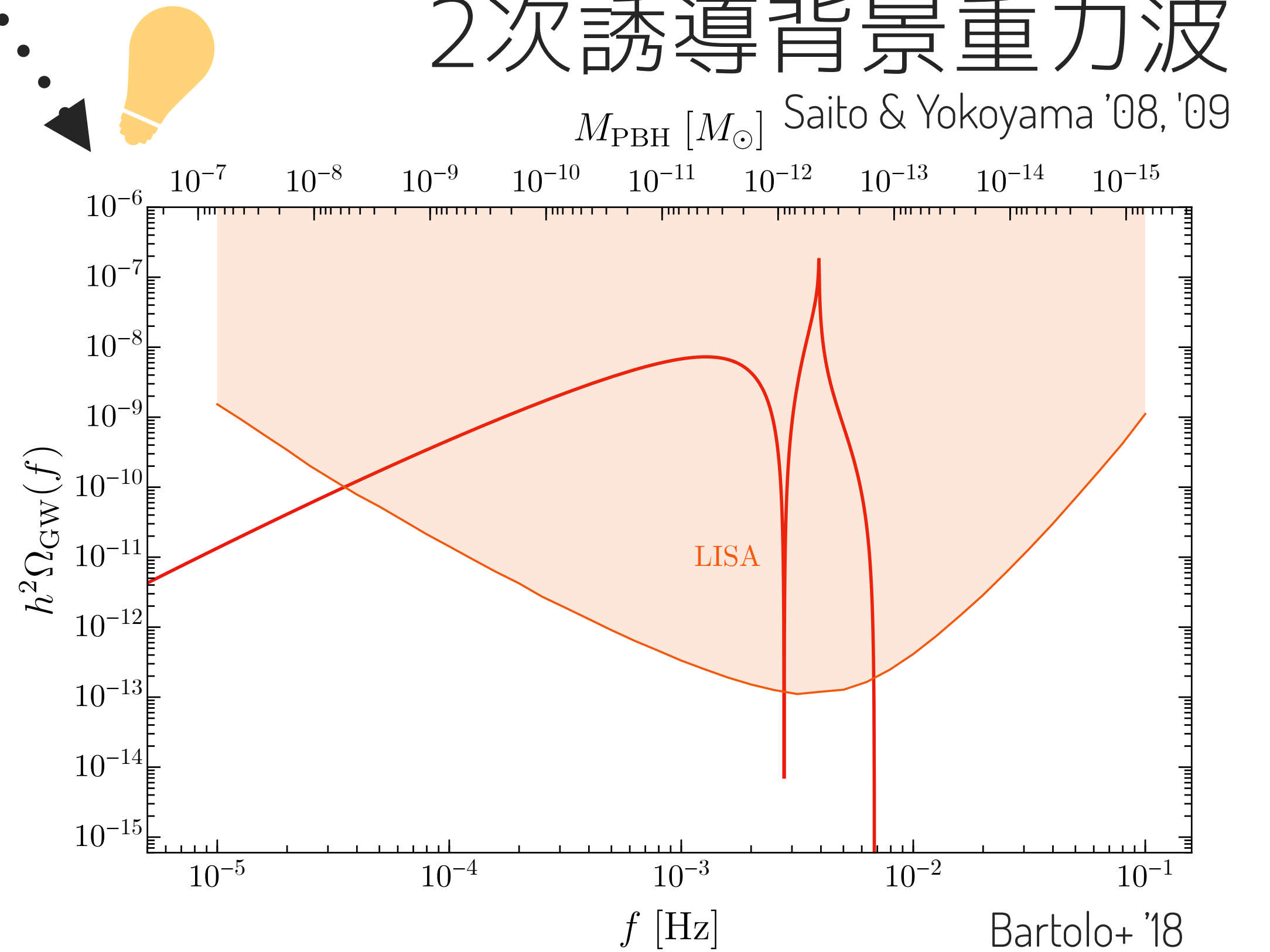
インフレーション
YT & Vennin '21

大きい初期ゆらぎ



Abe, Inui, YT, Yokoyama
in prep.

2次誘導背景重力波



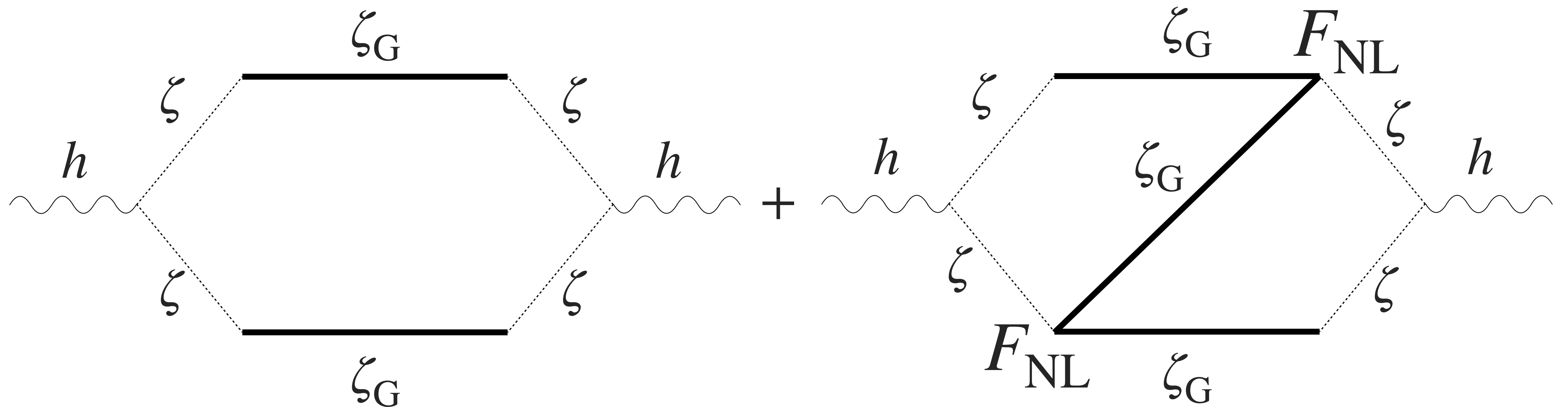
ダイアグラム

Adshead+ '21

$$\square h_{\mathbf{k}} = S(\zeta_{\mathbf{p}}, \zeta_{\mathbf{k}-\mathbf{p}}) \Rightarrow h_{\mathbf{k}} = \int dt' G_{\mathbf{k}}(t, t') S_{\mathbf{k}}(\zeta, \zeta; t')$$

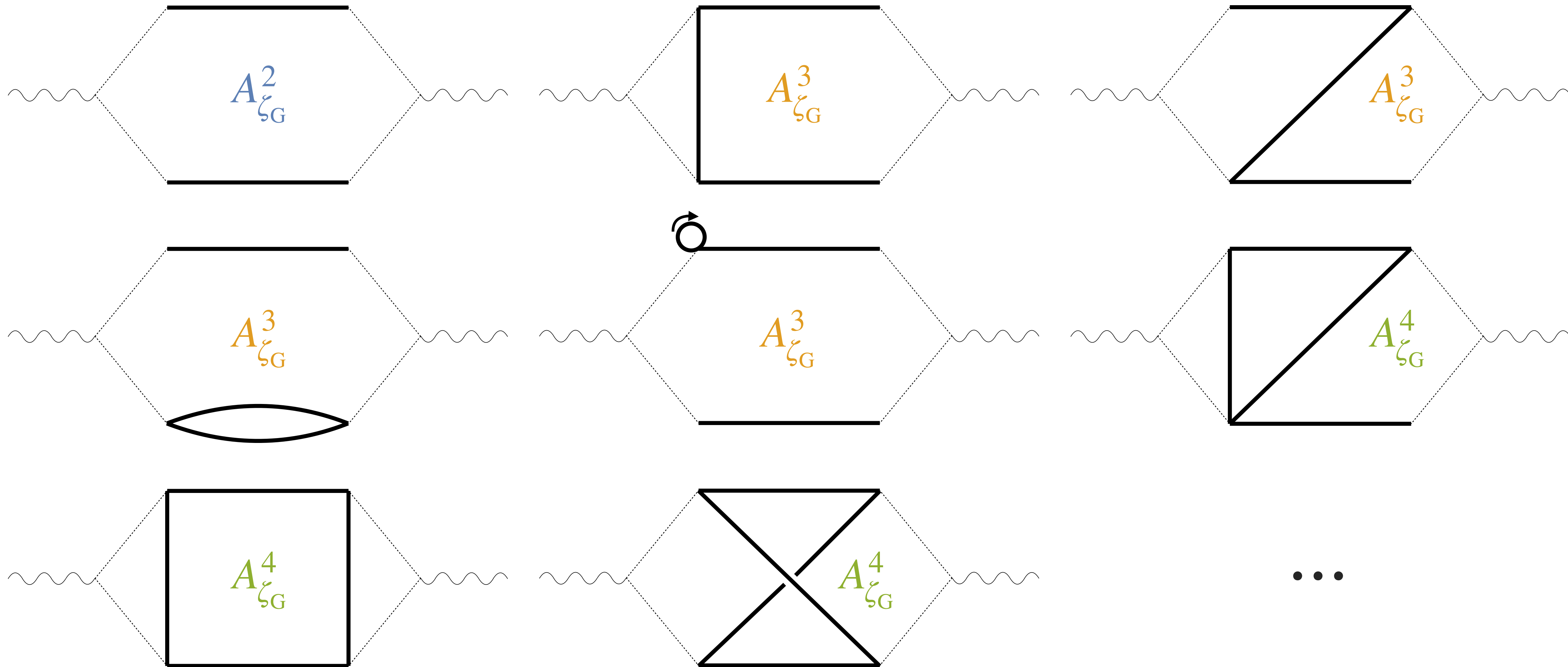
$$\Rightarrow \langle h_{\mathbf{k}} h_{\mathbf{k}'} \rangle = \int dt' dt'' G(t, t') G(t, t'') \langle S_{\mathbf{k}}(\zeta, \zeta; t') S_{\mathbf{k}'}(\zeta, \zeta; t'') \rangle$$

$$\zeta = \zeta_G + F_{\text{NL}} \zeta_G^2 + G_{\text{NL}} \zeta_G^3 + \dots$$



ダイアグラム

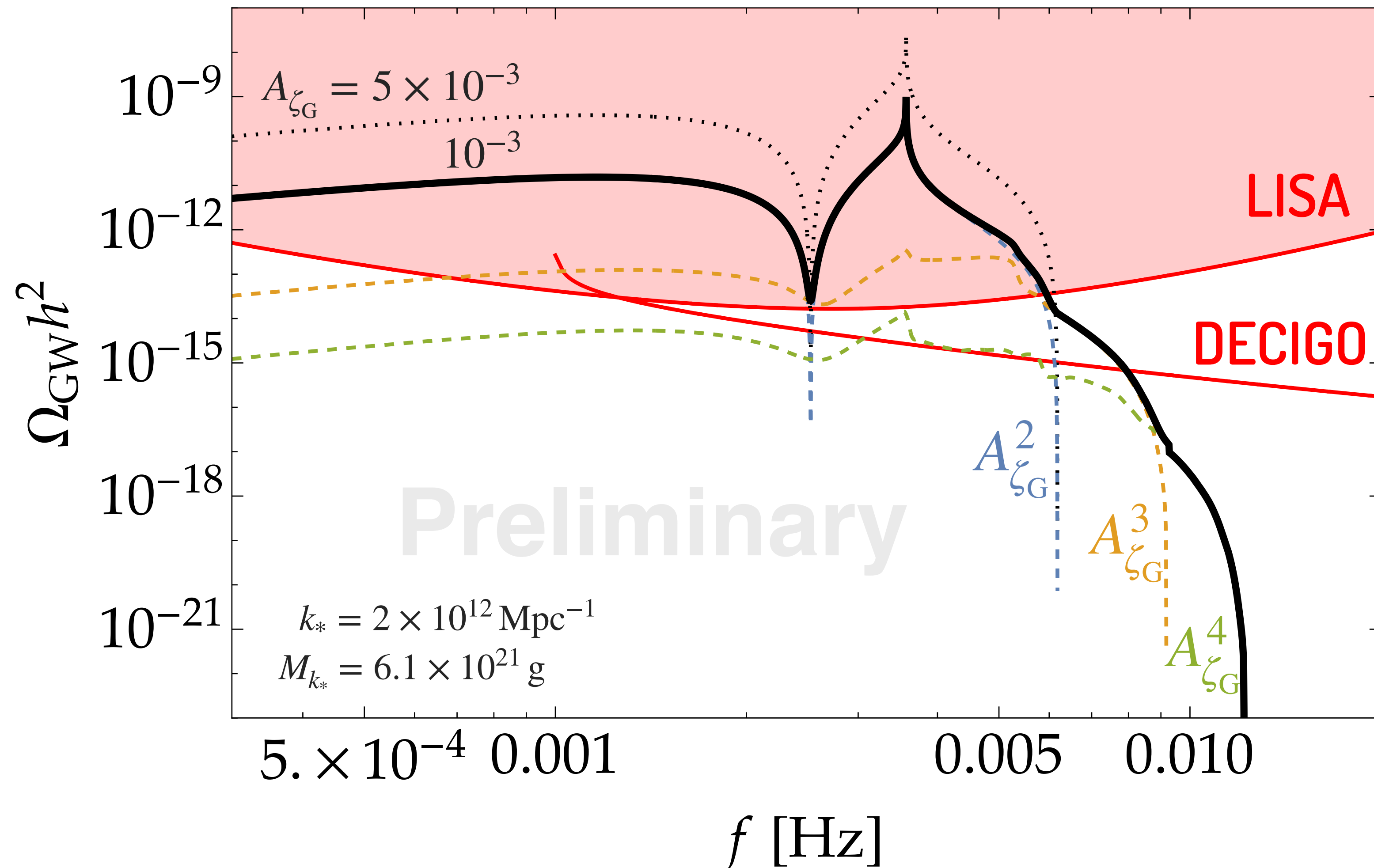
Abe, Inui, YT, Yokoyama in prep.



GW spectrum

Abe, Inui, YT, Yokoyama in prep.

$$\zeta = -\frac{1}{3} \log(1 - 3\zeta_G) = \zeta_G + \frac{3}{2}\zeta_G^2 + 3\zeta_G^3 + \dots$$



* $h \sim \zeta^3, \zeta^4, \dots$
cf. Yuan+ '19, Zhou '21

結論

- exp-tail : $\zeta \sim 1$ でガウシアンとは限らない
- 原始 BH のピーク理論
 - 質量のスケール則や ζ の非ガウス性にも対応
 - PS より非ガウス性の影響大
- 誘導重力波
 - exp-tail でも LISA で見える (heavier-tail だと...? cf. Hooshangi+ '21, Cai+ '21)
 - UV 側に非ガウス性の情報?

補遺

$$\hat{g}(r) = \mu \left[\frac{1}{1-\gamma^2} \left(\psi(r) + \frac{1}{3} R_{\bullet}^2 \Delta \psi(r) \right) - k_{\bullet}^2 \frac{1}{\gamma(1-\gamma^2)} \frac{\sigma_0}{\sigma_2} \left(\gamma^2 \psi(r) + \frac{1}{3} R_{\bullet}^2 \Delta \psi(r) \right) \right]$$

$$\sigma_n^2 = \int \frac{dk}{k} k^{2n} \mathcal{P}_g(k), \quad \gamma = \frac{\langle k^2 \rangle}{\sqrt{\langle k^4 \rangle}}, \quad R_{\bullet} = \sqrt{\frac{3\langle k^2 \rangle}{\langle k^4 \rangle}} \quad \psi(r) = \frac{1}{\sigma_0^2} \int \frac{dk}{k} \frac{\sin kr}{kr} \mathcal{P}_g(k)$$

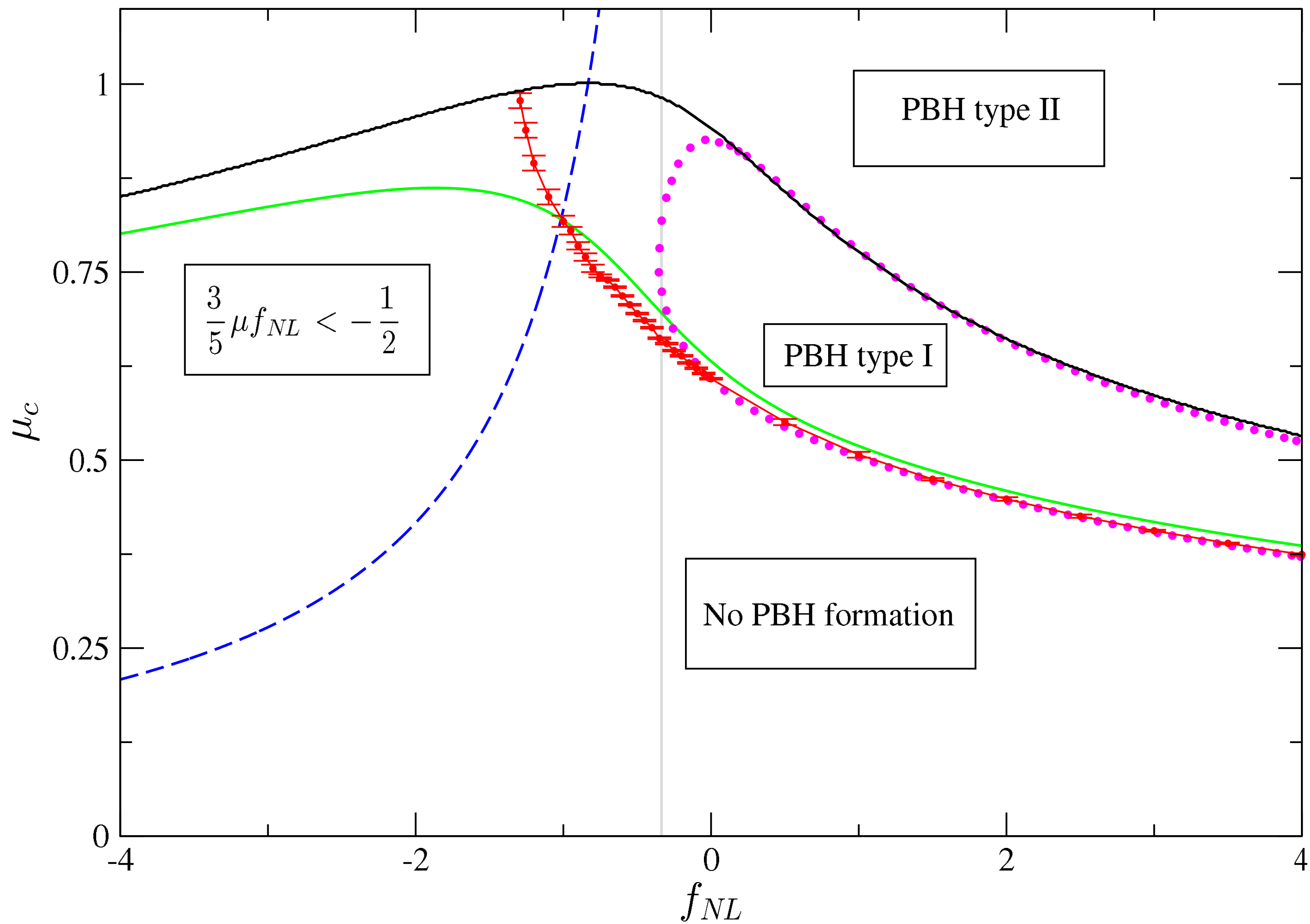
$$n_{\text{pk}}(\mu, k_{\bullet}) d\mu dk_{\bullet} = \left[\frac{1}{V_{\Omega}} \int_{\Omega} d^3x \sum_{\nabla g(\mathbf{x}_p)=0} \delta^{(3)}(\mathbf{x} - \mathbf{x}_p) \delta(\mu - \mu(\mathbf{x}_p)) \delta(k_{\bullet} - k_{\bullet}(\mathbf{x}_p)) \right] d\mu dk_{\bullet}$$

$$= \frac{2 \times 3^{3/2}}{(2\pi)^{3/2}} \mu k_{\bullet} \frac{\sigma_2^2}{\sigma_0 \sigma_1} f\left(\frac{\mu k_{\bullet}^2}{\sigma_2}\right) P_1\left(\frac{\mu}{\sigma_0}, \frac{\mu k_{\bullet}^2}{\sigma_2}\right) d\mu dk_{\bullet}$$

$$f(\xi) = \frac{1}{2} \xi (\xi^2 - 3) \left(\operatorname{erf} \left[\frac{1}{2} \sqrt{\frac{5}{2}} \xi \right] + \operatorname{erf} \left[\sqrt{\frac{5}{2}} \xi \right] \right) + \sqrt{\frac{2}{5\pi}} \left\{ \left(\frac{8}{5} + \frac{31}{4} \xi^2 \right) \exp \left[-\frac{5}{8} \xi^2 \right] + \left(-\frac{8}{5} + \frac{1}{2} \xi^2 \right) \exp \left[-\frac{5}{2} \xi^2 \right] \right\}$$

$$P_1(\nu, \xi) = \frac{1}{2\pi\sqrt{1-\gamma^2}} \exp \left[-\frac{1}{2} \left(\nu^2 + \frac{(\xi - \gamma\nu)^2}{1-\gamma^2} \right) \right]$$

補遺



補遺

$$\zeta = -\frac{1}{3} \log(1 - 3\zeta_G)$$

tuned A_{ζ_G}

